

$$Q = 0,82 \frac{3,14 \cdot 2,0^2}{4} \sqrt{2 \cdot 9,80 \cdot 9,0} = 34,2 \text{ м}^3/\text{с}.$$

№ 2. Вода по трубе T подается в резервуар A (рис. 10-29), откуда из сделанного в стенке отверстия диаметром D_1 перетекает в резервуар B . Далее через отверстие диаметром D_2 вода попадает в резервуар C и, наконец, вытекает в атмосферу через короткую трубу диаметром D_3 и длиной l .

Дано: $H = 1,0$ м; $D_1 = 30$ мм; $D_2 = 15$ мм; $D_3 = 20$ мм; $l = 9,0$ см.

Требуется найти: расход Q и перепады уровней Z_1 и Z_2 .

Ответ: $Q = 1140 \text{ см}^3/\text{с}$; $Z_1 = 34,5$ см; $Z_2 = 55,2$ см.

СПИСОК ЛИТЕРАТУРЫ

- 10-1. Абрамович Г. Н. Теория турбулентных струй. — М.: Физматгиз, 1960.
- 10-2. Агроскин И. И., Дмитриев Г. Т., Пикалов Ф. И. Гидравлика — М.: Госэнергоиздат, 1964.
- 10-3. Качановский Б. Д. Гидравлика судоходных шлюзов. — М.—Л.: Речиздат, 1951.
- 10-4. Позднеев М. В. Противопожарное водоснабжение. — Л.—М.: Изд. Наркомхоза РСФСР, 1940.
- 10-5. Тер-Степанов Г. А. Гидромониторные работы. — М.: Стройвоенмориздат, 1948.
- 10-6. Френкель Н. З. Гидравлика. — М.—Л.: Госэнергоиздат, 1956.

ГЛАВА ОДИННАДЦАТАЯ

ВОДОСЛИВЫ

§ 11-1. ТЕРМИНОЛОГИЯ И КЛАССИФИКАЦИЯ ВОДОСЛИВОВ

Представим на рис. 11-1, например, некоторый канал, прегражденный поперек стенкой. Вода, скопившись перед такой стенкой, переливается через нее или через порог выреза, сделанного в этой стенке.

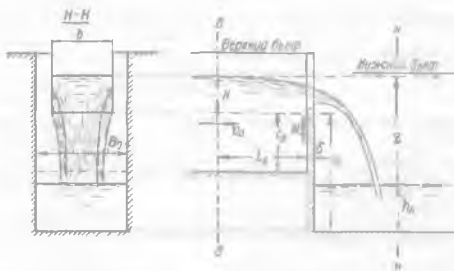


Рис. 11-1. Истечение через водослив с тонкой стенкой (неподтопленный водослив)

Водосливом называется безапорное отверстие (водосливное отверстие) — вырез, сделанный в гребне стенки, через который протекает вода. Часть

стенки в пределах водосливного отверстия, через которую переливается вода, называется *водосливной стенкой*.

В дальнейшем будем пользоваться следующими дополнительными терминами и обозначениями.

1. Область потока перед водосливной стенкой будем называть верхним бьефом (ВБ); область потока за водосливной стенкой — нижним бьефом (НБ).

2. Наметим на расстоянии l_B от верховой грани водосливной стенки сечение в — в, в котором начинается заметный спад свободной поверхности, обусловленный наличием водослива. Как показывают опыты, длина

$$l_B = (3 \div 5) H, \quad (11-1)$$

где величина H (см. чертеж), измеряемая в сечении в—в, называется *геометрическим напором на водосливе*.

Надо твердо запомнить, что *геометрический напор H на водосливе представляет собой превышение над гребнем водосливной стенки горизонта воды в сечении в—в, где еще нет заметного спада свободной поверхности, обусловленного истечением воды через водослив.*

3. Введем еще такие обозначения:

b — ширина водослива, или иначе, ширина водосливного отверстия;

δ — толщина водосливной стенки;

c_B и c_H — высоты водосливной стенки соответственно в верхнем и нижнем бьефах; в случае $c_B = c_H$ эту высоту обозначаем через c ;

B_0 — ширина русла, в котором устроен водослив;

Z — геометрический перепад на водосливе (разность горизонтов воды в верхнем и нижнем бьефах);

v_0 — скорость подхода, т. е. средняя скорость, измеряемая в указании выше сечении в — в;

H_0 — так называемый *полный напор на водосливе*, или, иначе, напор с учетом скорости подхода:

$$H_0 = H + \frac{\alpha v_0^2}{2g}, \quad (11-2)$$

Z_0 — так называемый *полный перепад на водосливе*, или, иначе, перепад на водосливе с учетом скорости подхода:

$$Z_0 = Z + \frac{\alpha v_0^2}{2g}. \quad (11-3)$$

Водосливы принято классифицировать по следующим признакам.

Классификация № 1 — в зависимости от геометрической формы водосливного отверстия. Здесь различают водосливы (рис. 11-2): а) прямоугольные; б) треугольные; в) трапециевидальные; г) круговые; д) параболические; е) с наклонным гребнем.

Классификация № 2 — в зависимости от формы и размеров поперечного сечения водосливной стенки. Эта классификация является наиболее важной. Здесь различают:

а) *водосливы с тонкой стенкой* (рис. 11-1); в случае этих водосливов струя воды, переливающейся через водосливную стенку, формируется под действием только верховой ее грани: остальные поверхности водосливной стенки не влияют на картину истечения; при наличии вертикальной стенки (рис. 11-1) водослив с тонкой стенкой имеет место, когда

$$\delta \leq (0,1 \div 0,5) H; \quad (11-4)$$

б) водосливы с широким порогом, имеющие водосливную стенку любой высоты, гребень которой обычно (в случае прямоугольного отверстия) представляет собой горизонтальную плоскость (рис. 11-3): в общем случае этот гребень является цилиндрической поверхностью с горизонтальной образующей в виде прямой линии направленной вдоль течения; толщина (ширина) δ в случае водослива с широким порогом должна удовлетворять двум условиям:

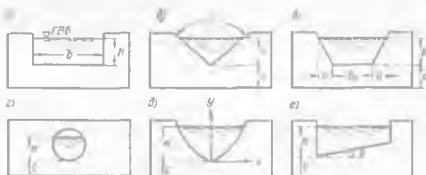


Рис. 11-2 Различные формы водосливного отверстия

1) на расстоянии δ потеря напора по длине h_l должна быть пренебрежимо мала;¹

2) в пределах расстояния δ должен быть хотя бы небольшой участок потока, характеризуемый наличием плавно изменяющегося движения.

В случае прямоугольных водосливов с широким порогом толщина δ стенки, удовлетворяющая указанным условиям, лежит в пределах

$$2H \leq \delta \leq 8H; \quad (11-5)$$

при $\delta > 8H$ уже получается не водослив, а канал с горизонтальным дном, при расчете которого необходимо, помимо местных потерь, учитывать еще и потери напора по длине; при $\delta < 2H$ на длине δ мы не получаем плавно изменяющегося движения,

в) водосливы со стенкой практического профиля: к таким водосливам относится любой водослив, отличный от водослива с тонкой стенкой и водослива с широким порогом (см., например, рис. 11-4).



Рис. 11-4. Водослив со стенкой практического профиля

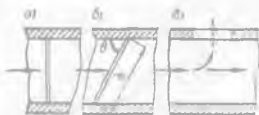


Рис. 11-5. Водосливы с прямой гребнем (в плане)

Классификация № 3 – в зависимости от очертания гребня водосливной стенки в плане. Здесь различают:

¹ Как и в случае насадков (см § 10-6).

1) водосливы с прямолинейным в плане гребнем (рис. 11-5): а) прямые, или, иначе, лобовые; б) косые; в) боковые;

2) водосливы с непрямолинейным в плане гребнем (рис. 11-6): а) полигональные (ломаные); б) криволинейные; в) замкнутые, в частности кольцевые.

Классификация № 4 — в зависимости от влияния нижнего бьефа на истечение. Эта классификация, так же как и классификация № 2, является весьма важной. Здесь различают: а) неподтопленные водосливы, когда Q и H не зависят от глубины воды h_H в нижнем бьефе; б) подтопленные водосливы, когда Q и (или) H зависят от глубины воды h_H в нижнем бьефе.

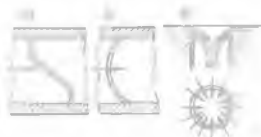


Рис. 11-6. Водосливы с непрямолинейным гребнем (в плане)



Рис. 11-7. Водослив без бокового сжатия (а) и с боковым сжатием (б)

Классификация № 5 (относящаяся только к случаю прямоугольных водосливов) — в зависимости от соотношения b и B_0 :

а) водосливы без бокового сжатия, когда $b = B_0$ (рис. 11-7, а);

б) водосливы с боковым сжатием, когда $b < B_0$ (рис. 11-7, б).

Ширина струи b_c (см. чертеж) иногда называется эффективной шириной водослива

Дополнительно к сказанному выше необходимо учитывать следующее обстоятельство.

Рассматривая какой-либо водослив (см., например, водослив, показанный далее на рис. 11-24) можно различать три участка русла, прегражденного водосливной стенкой: а) подводящий участок, расположенный перед водосливной стенкой, б) собственно водосливной, расположенный в районе самого водосливного отверстия, в) отводящий, расположенный за водосливной стенкой.

Обычно водосливом называют такое водосливное отверстие, при котором потерями напора в пределах подводящего и отводящего участков можно пренебречь. Случай весьма низкой водосливной стенки и так называемого «водослива без порога» (см. далее § 11-11) характеризуются существенными потерями напора в пределах подводящего и (или) отводящего участков. Такого рода случаи, именуемые иногда «стеснением потока» (например, строительными перемычками или устоями моста и т. п.), только условно могут рассчитываться по формулам, относящимся к водосливам в обычном понимании этого термина. Строго говоря, здесь дополнительно необходимо еще учитывать потери напора на упомянутых участках русла — подводящем и отводящем (см. конец § 11-11, стр. 429—431).

§ 11-2. ОСНОВНАЯ РАСЧЕТНАЯ ФОРМУЛА ДЛЯ ПРЯМОУГОЛЬНОГО ВОДОСЛИВА

Для прямоугольного водослива можем написать ряд следующих соотношений, в которых через ω обозначено живое сечение струи жидкости, переливающейся через водосливную стенку, и через v — скорость в том месте, где измеряется ω (рис. 11-8):¹

¹ Знак ω , например, в соотношении $\omega : bH$, указывает, что величина ω прямо пропорциональна произведению bH .

- 1) $Q = \omega v$;
- 2) $\omega :: bH$;
- 3) $v :: \sqrt{2gH}$ (см. гл. 10);
- 4) $Q :: (bH)(\sqrt{2gH})$;
- 5) $Q = mbH \sqrt{2gH}$.

где m — коэффициент пропорциональности.

Формулу (11-6) можно переписать в виде:

$$Q = mb \sqrt{2g} H^{3/2}$$

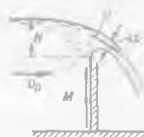
или, наконец, в виде:

$$Q = mb \sqrt{2g} H_0^{3/2}$$

Как видно, заменяя в (11-7) геометрический напор H полным напором H_0 , мы тем самым учитываем влияние скорости подхода v_0 на величину расхода Q .

Безразмерный коэффициент m в формуле (11-8) называется коэффициентом расхода водослива¹.

(11-6)



(11-7)

Рис. 11-8 К выводу основной «водосливной» формулы (11-8)

(11-8)

А. ПРЯМЫЕ (ЛОБОВЫЕ) ВОДОСЛИВЫ С ТОНКОЙ СТЕНКОЙ

§ 11-3. ДОПОЛНИТЕЛЬНЫЕ КЛАССИФИКАЦИИ ВОДОСЛИВОВ С ТОНКОЙ СТЕНКОЙ

В данном случае приходится различать еще следующие классификации водосливов (дополнительно к приведенным в § 11-1).

Классификация № 6 — в зависимости от наклона водосливной стенки:

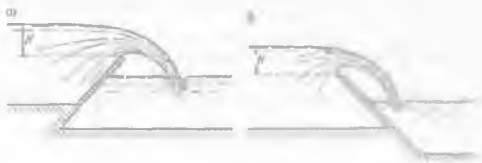


Рис. 11-9 Водосливы с наклонной тонкой стенкой

- а) водосливы с вертикальной стенкой (рис. 11-8);
- б) водосливы с наклонной стенкой (по течению или против течения; рис. 11-9, а, б).

Классификация № 7 — в зависимости от степени свободы доступа воздуха (или воды нижнего бьефа) под струю жидкости, переливающейся через водосливную стенку;

а) водосливы со свободным истечением, когда в пространство под струю с боков обеспечен свободный доступ воздуха (или воды нижнего бьефа в случае, если уровень воды нижнего бьефа стоит выше гребня водослива).

¹ Коэффициент m не следует смешивать с коэффициентом расхода μ , относящимся к случаю истечения через трубы (μ_1), отверстия (μ_0) и насадки (μ_n).

причем под струей имеем атмосферное давление (или давление, отвечающее горизонту воды нижнего бьефа);

б) водослив с несвободным истечением, когда в подструйное пространство доступ воздуха (или воды нижнего бьефа) затруднен.

§ 11-4. СВОБОДНОЕ ИСТЕЧЕНИЕ ЧЕРЕЗ НЕПОДТОПЛЕННЫЙ ПРЯМОУГОЛЬНЫЙ ВОДОСЛИВ С ВЕРТИКАЛЬНОЙ ТОНКОЙ СТЕНКОЙ

Неподтопленный прямоугольный водослив с вертикальной стенкой при наличии свободного истечения и при отсутствии бокового сжатия называется нормальным водосливом. Картина истечения жидкости в случае нормального водослива показана на рис. 11-8.¹

Величину расхода Q в случае нормального водослива обычно определяют по формуле (см. § 11-2):

$$Q = m_{0н} b \sqrt{2g H^{3/2}} \quad (11-9)$$

где H — геометрический (а не полный) напор на водосливе; здесь скорость подхода v_0 учитывается коэффициентом расхода $m_{0н}$, а не путем замены величины H величиной H_0 .

Существует несколько различных эмпирических формул для определения коэффициента расхода $m_{0н}$ нормального водослива (Базена, Ребока, швейцарских инженеров и т. д.). Наиболее рациональной является формула, предложенная Р. Р. Чугаевым для технических условий и норм [11-7; 11-13]

$$m_{0н} = 0,40 + 0,05 \frac{H}{c_в}; \quad (11-10)$$

ее можно применять, когда $c_в \geq 0,5H$ и $H \geq 0,1$ м.

Точность расчетных формул, относящихся к нормальному водосливу, является относительно высокой. Отчасти благодаря этому нормальные водосливы применяются в качестве измерительных водосливов на каналах. Измерив в натуре величину H на водосливе, специально устроенном в кванале, легко по формулам (11-9) и (11-10) найти расход воды в нем.

В случае неподтопленного водослива с боковым сжатием в формулу (11-9) вместо коэффициента $m_{0н}$ следует ввести коэффициент m'_0 , определяемый по формуле

$$m'_0 = A_1 A_2, \quad (11-11)$$

где

$$\left. \begin{aligned} A_1 &= 0,40 - 0,03 \frac{B_0 - b}{B_0}; \\ A_2 &= 1 + 0,55 \left(\frac{b}{B_0} \frac{H}{H + c_в} \right)^2. \end{aligned} \right\} \quad (11-12)$$

¹ При рассмотрении рис. 11-8 следует обратить внимание на траекторию жидкой частицы M , движущейся непосредственно у верхней грани водосливной стенки. Как видно, траектория этой частицы, ограничивающая струю снизу, поднимается выше гребня водослива.

§ 11-5. СВОБОДНОЕ ИСТЕЧЕНИЕ ЧЕРЕЗ ПОДТОПЛЕННЫЙ ПРЯМОУГОЛЬНЫЙ ВОДОСЛИВ С ВЕРТИКАЛЬНОЙ ТОНКОЙ СТЕНКОЙ

Картина истечения в этом случае имеет вид, показанный на рис. 11-10.

При свободном истечении подтопленный водослив с тонкой стенкой получается, если одновременно оказываются соблюдены следующие два условия:

1) горизонт воды нижнего бьефа располагается выше гребня водослива:

$$h_n > 0, \quad (11-13)$$

где h_n — высота подтопления водослива, т. е. превышение горизонта воды нижнего бьефа над гребнем водослива;

2) в нижнем бьефе имеет место спокойный режим движения воды.

При несоблюдении второго условия, т. е. при наличии в нижнем бьефе бурного режима непосредственно за водосливной стенкой, в нижнем бьефе появляется отогнанный гидравлический прыжок (рис. 11-11) и водослив оказывается неподтопленным даже при соблюдении условия (11-13).

Наличие в нижнем бьефе спокойного или бурного режима устанавливается в результате расчета сопряжения бьефов (см. гл. 12). В частном случае, когда русло нижнего бьефа прямоугольное, причем $b = B_0$, считают, что спокойный

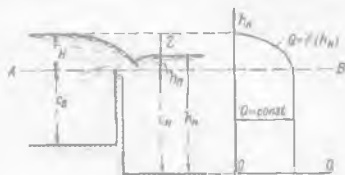


Рис. 11-10. Подтопленный водослив с тонкой стенкой



Рис. 11-11. Неподтопленный водослив с отогнанным прыжком

режим в нижнем бьефе будет при условии, если так называемый относительный перепад $(Z : c_n)$ менее его критического значения $(Z : c_n)_{кр}$:

$$\frac{Z}{c_n} < \left(\frac{Z}{c_n} \right)_{кр} \quad (11-14)$$

где $(Z : c_n)_{кр}$ может быть найдено по особому экспериментальному графику (рис. 11-12) в зависимости от величины $(H : c_n)$. Как видно из этого графика, часто величина $(Z : c_n)_{кр} = 0.70 - 0.75$.

В случае подтопленного водослива со свободным истечением без бокового сжатия расход Q определяется по формуле

$$Q = m_0 b \sqrt{2g} H^{3/2}, \quad (11-15)$$

где

$$m_0 = \sigma_n m_{0n}, \quad (11-16)$$

причем здесь m_{0n} определяется, как указано в § 11-4; величина же σ_n согласно Базену, находится (для h_n/c от 0.0 до 1.5) по эмпирической формуле

$$\sigma_n = 1,05 \left(1 + 0,2 \frac{h_n}{c} \right)^3 \sqrt{\frac{Z}{H}}. \quad (11-17)$$

см. табл. П-6 (с. 647), составленную по этой формуле.

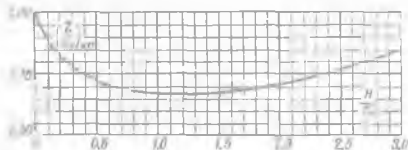


Рис. 11-12. Кривая $\left(\frac{Z}{c_n} \right)_{кр} = f \left(\frac{H}{c_n} \right)$

На рис. 11-10 представлен график, показывающий, как (при $H \approx H_0 = \text{const}$) изменяется величина расхода Q с изменением глубины h_n воды в нижнем бьефе.

Данный график построен в предположении, что при глубинах $h_n > c_n$ в нижнем бьефе всегда имеет место спокойный режим, отогнанный прыжок отсутствует. Как видно из этого графика, до тех пор, пока горизонт воды нижнего бьефа находится ниже линии AB , проведенной на уровне гребня водослива, имеем неподтопленный водослив (величина Q не зависит от h_n). Как только горизонт воды нижнего бьефа поднимается выше линии AB , величина Q оказывается уже зависящей от h_n ; здесь получаем подтопленный водослив, причем с увеличением h_n расход Q должен уменьшаться до нуля; расход Q будет равным нулю в момент, когда горизонт нижнего бьефа сравняется с горизонтом верхнего бьефа.

Необходимо подчеркнуть, что снижение расхода, получившееся при подтоплении любого водослива, обуславливается тем, что под струей, нисходящей с водосливной стенки, при поднятии горизонта воды нижнего бьефа повышается давление под струей не зависит от горизонта воды нижнего бьефа водослив будет неподтоплен.

§ 11-6. НЕСВОБОДНОЕ ИСТЕЧЕНИЕ ЧЕРЕЗ ВОДОСЛИВ С ВЕРТИКАЛЬНОЙ ТОНКОЙ СТЕНКОЙ

При затрудненном подводе воздуха (или воды) под струю, т. е. при наличии несвободного истечения различают два случая:

1) когда горизонт воды нижнего бьефа (ГНБ) непосредственно у водосливной стенки стоит ниже гребня водосливной стенки;

2) когда ГНБ непосредственно у водосливной стенки стоит выше гребня водосливной стенки.

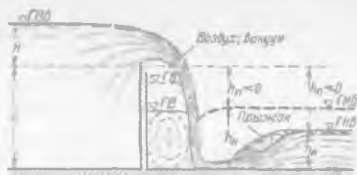


Рис. 11-13. Струя поджатая, не подтопленная снизу

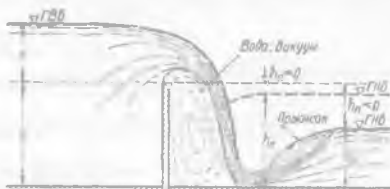


Рис. 11-14. Струя поджатая, подтопленная снизу

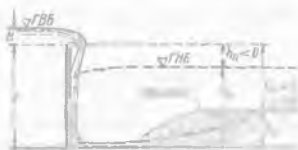


Рис. 11-15. Струя прилипающая



Рис. 11-16. Донный режим истечения

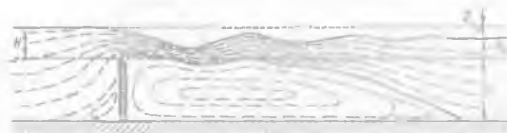


Рис. 11-17. Поверхностный режим истечения

1°. ГНБ стоит ниже гребня водосливной стенки. Как показывают опыты, приведенные Базеном, здесь получаем следующие формы струй:

1) струя поджатая, не подтопленная снизу (рис. 11-13); в этом случае под струей имеется воздух, причем давление под струей меньше атмосферного. Благодаря наличию под струей вакуума она несколько прижимается к водосливной стенке. Вакуум оказывает «подсасывающее» действие и увеличивает коэффициент расхода m ;

2) струя поджатая, подтопленная снизу (рис. 11-14), здесь все подструйное пространство заполнено водой; вакуум под струей в этом случае больше, чем в предыдущем (при прочих равных условиях);

3) струя прилипшая (рис. 11-15), здесь вакуум весьма велик, благодаря чему коэффициент расхода m получается особенно большим.

Если через m_1 , m_2 , m_3 обозначим коэффициенты расхода соответственно для случаев, показанных на рис. 11-13, 11-14 и 11-15, то можем написать:

$$m_1 < m_2 < m_3. \quad (11-18)$$

В каждом отмеченном выше случае можно различать:

а) непокрытую струю, когда в нижнем бьефе имеется отогнанный гидравлический прыжок;

б) покрытую струю, когда в нижнем бьефе отогнанного гидравлического прыжка нет (см. на рис. 11-13, 11-14 и 11-15 свободную поверхность, показанную жирной штриховой линией).

Если доступ воздуха под струю вовсе невозможен и водослив не имеет бокового сжатия, то, согласно опытам Базена:

а) при $H > 0,4c$ всегда будем иметь поджатую, подтопленную снизу струю;

б) при $H < 0,4c$ и при $h_n > (c - H)$ также будем иметь поджатую, подтопленную снизу струю.

Истечение воды через водослив в случае поджатой, подтопленной снизу струи (рис. 11-14), в отличие от других случаев (рис. 11-13 и 11-15), носит достаточно условный характер. В литературе приводятся эмпирические формулы для коэффициента расхода m_n при таком виде истечения.

2°. ГНБ непосредственно у водосливной стенки выше ее гребня. Здесь может быть место:

а) или так называемый донный режим (рис. 11-16)

б) или так называемый поверхностный режим (рис. 11-17)

При донном режиме струя достигает дна нижнего бьефа; при поверхностном режиме струя находится на поверхности воды нижнего бьефа.

Можно считать (на основании опытов), что

1) при $\frac{Z}{c} \leq 0,15$ всегда будет поверхностный режим;

2) при $\frac{Z}{c} \geq 0,30$ всегда будет донный режим.

Что касается расхода Q , то его здесь определяют, пользуясь зависимостью, приведенной в § 11-5.

§ 11-7. ВОДОСЛИВЫ С ТОНКОЙ СТЕНКОЙ, ОТЛИЧНЫЕ ОТ ПРЯМОГОЛЬНЫХ

Будем иметь в виду только неподтопленные водосливы.

1°. Треугольный водослив с вертикальной гонкой стейжкой при свободном доступе воздуха под струю (рис. 11-18). Здесь имеются следующие эмпирические формулы для определения расхода Q (Q в m^3/c и H в м).

1. Случай, когда угол θ (см. чертеж) равен 90° :

а) по Кингу

$$Q = 1,343H^{2,47}; \quad (11-19)$$

б) по Томсону

$$Q = 1,4H^{5/2} \quad (11-20)$$

2. Случай, когда $22 \leq \theta \leq 118$, — по Граве

$$Q = 1,331 \left(\text{tg} \frac{\theta}{2} \right)^{0,996} H^{2,47} \quad (11-21)$$

2°. Трапецидальный водослив с вертикальной тонкой стенкой при свободном доступе воздуха под струю (рис. 11-19). Здесь обычно пользуются приближенной формулой:

$$Q = mb_{cp} \sqrt{2g} H_0^{3/2} = m\epsilon (b_0 + 0,8nH) \sqrt{2g} H_0^{3/2}, \quad (11-22)$$



Рис. 11-18 Треугольный водослив



Рис. 11-19 Трапецидальный водослив

где b_{cp} — средняя ширина водослива; b_0 — ширина трапецидального выреза поизу; n — коэффициент откоса: $n = \text{ctg} \varphi$; ϵ — так называемый коэффициент бокового сжатия (см. далее водосливы с широким порогом).

Коэффициент расхода m , входящий в формулу (11-22), в случае $\text{ctg} \varphi = \frac{1}{4}$ может быть принят: $m = 0,42$

3°. **Заключительное замечание.** Существуют эмпирические формулы и для водосливов параболических, круговых и т. п.

Некоторые из упомянутых водосливов применяются в качестве измерительных водосливов (для измерения расхода Q).

Б. ПРЯМЫЕ ПРЯМОУГОЛЬНЫЕ ВОДОСЛИВЫ С ШИРОКИМ ПОРОГОМ

§ 11-8. НЕПОДТОПЛЕННЫЙ ВОДОСЛИВ С ШИРОКИМ ПОРОГОМ

1°. **Общие положения.** Неподтопленный водослив с широким порогом обычно характеризуется наличием двух перепалов свободной поверхности: $Z_в$ и $Z_н$ (рис. 11-20).

Поясним причины возникновения первого перепала $Z_в$ с физической точки зрения. Представим себе безнапорное спокойное движение воды, например в верхнем бьефе перед водосливной стенкой (рис. 11-20). Ясно, что при наличии местного сжатия такого потока (или выступами с боков — со стороны боковых стенок русла, или выступами в виде порога водослива снизу, как то показано на рис. 11-20) мы получим в данном месте уменьшение живого сечения потока. Следствием этого будет: а) увеличение скорости v в месте сжатия, б) увеличение кинетической, а следовательно, уменьшение потенциальной энергии, в) снижение свободной поверхности потока в месте его сжатия, обусловленное уменьшением потенциальной энергии.

Надо учитывать, что в месте сжатия (с боков или снизу) безнапорного потока (при спокойном движении жидкости) всегда получается резкое снижение его свободной поверхности.

В данном случае возникновение перепада Z_n и обуславливается стеснением потока снизу порогом водослива.

Несмотря на то, что ГНБ (горизонт воды нижнего бьефа) на рис 11-20 показан выше линии АВ, проходящей по гребню водослива, здесь все же имеем неподтопленный водослив; условия подтопления в случае водослива с широким порогом отличаются от условий подтопления в случае водослива с тонкой стенкой.

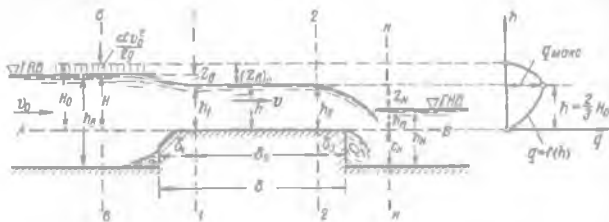


Рис 11-20. Неподтопленный водослив с широким порогом

Так как потерей напора по длине вдоль порога водослива пренебрегают, то свободную поверхность потока в пределах гребня водослива считают горизонтальной и полагают, что

$$h_1 = h_2 = h = \text{const}; \quad (11-23)$$

здесь h — глубина воды на пороге водослива между сечениями 1-1 и 2-2 (где измеряются глубины h_1 и h_2), выделяющими участок потока, характеризующийся плавно изменяющимся движением (см. чертеж).

Длины δ_1 и δ_2 , определяющие положение сечений 1-1 и 2-2, т. е. начало и конец горизонтального участка свободной поверхности потока, как показывает опыт, равны:¹

$$\delta_1 \approx 2H; \quad \delta_2 \approx 0 + H. \quad (11-24)$$

Соединяя уравнением Бернулли сечения а-а и 1-1 и принимая, что потери напора (местные) между этими сечениями

$$h_1 = \zeta \frac{v^2}{2g}, \quad (11-25)$$

можем написать (при плоскости сравнения АВ)

$$H + \frac{\alpha v_0^2}{2g} = h + \frac{v^2}{2g} + \zeta \frac{v^2}{2g}, \quad (11-26)$$

откуда получаем

$$v = \varphi \sqrt{2g(H_0 - h)} = \varphi \sqrt{2g(Z_n)_0}, \quad (11-27)$$

где v — средняя скорость на пороге (в любом вертикальном сечении, наменном между вертикалями 1-1 и 2-2); $(Z_n)_0$ — полный верховой перепад, учитывающий скорость подхода,

¹ Рисунок 11-20 выполнен в отдельных его частях не в масштабе.

$$(Z_{*})_0 = Z_* + \frac{\alpha v_0^2}{2g}, \quad (11-28)$$

φ — коэффициент скорости,

$$\varphi = \sqrt{\frac{1}{1+\zeta}} \quad (11-29)$$

причем здесь коэффициент сопротивления ζ учитывает местную потерю напора, получающуюся на входе при обтекании потоком входного горизонтального ребра водослива.

Для прямоугольного водослива, пользуясь формулой (11-27), величину расхода Q можно записать в виде

$$Q = bhv = bh\varphi \sqrt{2g(H_0 - h)}. \quad (11-30)$$

При этом, переходя к удельному (единичному) расходу, получаем

$$q = \frac{Q}{b} = \varphi h \sqrt{2g(H_0 - h)} = \varphi h \sqrt{2g(Z_{*})_0}. \quad (11-31)$$

Как видно, для того, чтобы по уравнению (11-30) или (11-31) найти расход, необходимо знать глубину h , которая при заданном H сама собой устанавливается на пороге водослива. Для определения h и Q в случае водослива с широким порогом было предложено много различных способов. Рассмотрим некоторые из них.

2°. Старые способы определения глубины потока на пороге водослива. Рассмотрим два способа: Белаиже и Бахметева.

Способ Белаиже (принцип максимума расхода). Перепишем уравнение (11-31) в виде

$$q = \varphi h \sqrt{2g(H_0 - h)} = f(h). \quad (11-32)$$

Из чертежа на рис. 11-20 видно, что искомая глубина на пороге при всех условиях не может быть более H_0 . Можем утверждать, что глубина h лежит в пределах

$$0 < h < H_0 \quad (11-33)$$

Считая, что H_0 нам задано ($H_0 = \text{const}$), обратимся к формальному анализу уравнения (11-32).

Назначив в этом уравнении

$$h = H_0, \quad (11-34)$$

получим

$$q = 0; \quad (11-35)$$

назначив же в указанном уравнении

$$h = 0, \quad (11-36)$$

величину q , формально вычисленную по (11-32), получаем также

$$q = 0. \quad (11-37)$$

Как видно, положительная функция $f(h)$, согласно (11-32), при возможных граничных значениях h получает величины, равные нулю; отсюда заключаем, что при некотором промежуточном значении h непрерывная функция $q = f(h)$ должна иметь максимум, причем кривая $q = f(h)$ получает вид, изображенный на графике рис. 11-20.

Учитывая указанное обстоятельство, Беланже предложил пользоваться для определения глубины h следующим постулатом (положением, принимаемым без доказательства): при заданном напоре H_0 глубина h на пороге водослива сама собой устанавливается в такой, при которой уравнение (11-32) дает $q = q_{\text{макс}}$, другими словами, явление штечения через рассматриваемый водослив само собой устанавливается в такой форме, при которой расход из всех возможных расходов получается наибольшим. Этот постулат называют иногда принципом наибольшего расхода.

Согласно данному постулату, искомая глубина h должна удовлетворять уравнению

$$q_h = 0. \quad (11-38)$$

т. е.

$$\frac{dq}{dh} = \frac{d[\varphi h \sqrt{2g(H_0 - h)}]}{dh} = 0. \quad (11-39)$$

Считая $\varphi = \text{const}$, из (11-39) получаем:

$$\frac{d(h\sqrt{H_0 - h})}{dh} = \sqrt{H_0 - h} - \frac{1}{2} \frac{h}{\sqrt{H_0 - h}} = 0, \quad (11-40)$$

что дает

$$h = \frac{2}{3} H_0. \quad (11-41)$$

Именно такая глубина h , согласно Беланже, должна устанавливаться на пороге рассматриваемого водослива.

Как видно, по Беланже отношение $h : H_0 = k$ (обозначение) будет

$$k = \frac{h}{H_0} = \frac{2}{3}. \quad (11-42)$$

Уравнение (11-30) можно переписать в виде

$$Q = \varphi b \frac{h}{H_0} H_0 \sqrt{2g H_0 \left(1 - \frac{h}{H_0}\right)} \quad (11-43)$$

или в виде

$$Q = \varphi k \sqrt{1 - k} \sqrt{2g H_0^{3/2}} \quad (11-44)$$

или, наконец, в виде

$$Q = mb \sqrt{2g H_0^{3/2}}, \quad (11-45)$$

где

$$m = \varphi k \sqrt{1 - k}. \quad (11-46)$$

Как видно, (11-45) ничем не отличается от основной расчетной зависимости (11-8), приведенной в § 11-2.

Подставляя в (11-46) величину k по Беланже, получаем

$$m = \varphi \frac{2}{3} \sqrt{1 - \frac{2}{3}} = 0,385\varphi. \quad (11-47)$$

Некоторые авторы рекомендовали принимать величину φ для широкого порога, не имеющего скругления входного ребра (рис. 11-21,а), равной $\varphi \approx 0,85$; имеющего скругленное ребро (рис. 11-21,б) – равной $\varphi \approx 0,92$.

Исходя из этих значений φ , получаем в соответствии с (11-47) величину коэффициента расхода m : а) $m \approx 0,32$ — для порога на рис. 11-21, а; б) $m \approx 0,35$ — для порога на рис. 11-21, б.

Способ Бахметева. Б. А. Бахметев вместо принципа максимума расхода для определения глубины h воспользовался другим постулатом. Согласно Бахметеву, на пороге рассматриваемого водослива сама собой должна устанавливаться такая глубина h , которой отвечает минимум удельной энергии

сечений (минимум величины $\mathcal{E} = h + \frac{qv^2}{2g}$); други-

ми словами, согласно Бахметеву, на пороге рассматриваемого водослива должна устанавливаться критическая глубина:

$$h = h_{кр} \quad (11-48)$$

где по Бахметеву,

$$k = \frac{h_{кр}}{H_0} \quad (11-49)$$

или, подставляя сюда (7-49):¹

$$k = \frac{1}{H_0} \sqrt[3]{\frac{Q^2}{gb^3}} = \sqrt[3]{\frac{Q^2}{H_0^3 gb^3}} \quad (11-50)$$

что, учитывая (11-44), даст:

$$k = \frac{2\varphi^2}{1 + 2\varphi^2} \quad (11-51)$$

Расчетная формула для Q здесь остается та же [см. формулу (11-45)]; величина же коэффициента расхода m получается из (11-46), если в эту зависимость подставить φ , найденное из (11-51):²

$$m = \sqrt{\frac{k^3}{2}} \quad (11-52)$$

откуда

$$k = \sqrt[3]{2m^2} \quad (11-53)$$

Принимая указанные выше численные значения φ , получаем по Бахметеву примерно те же значения m , что и по Беланже (см. выше).³ Величины же k согласно Бахметеву [см. (11-51)], оказываются равными:

а) $k = 0,59$ — для порога на рис. 11-21, а;

б) $k = 0,63$ — для порога на рис. 11-21, б.

Только при $\varphi = 1,0$, по Бахметеву, так же как и по Беланже, получаем $k = 2/3$.

3°. Новые способы расчета водослива. Рядом исследователей при помощи соответствующих опытов было показано, что постулат Беланже и постулат Бахметева не вполне отвечают действительности. Оказывается, что

$$h < h_{кр} < 2H_0/3, \quad (11-54)$$

¹ Величину α принимаем: $\alpha \approx 1,0$.

² Здесь всюду считаем $\varphi = \text{const}$.

³ Сам Беланже, собственно, в зависимости (11-46) полагал $\varphi = 1,0$ и получал $m = 0,385$. Величину $\varphi < 1$ ввели в зависимость (11-46) в последующем другие исследователи

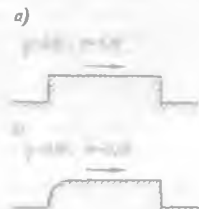


Рис. 11-21. Водосливные стенки: а — не скругленное входное горизонтальное ребро порога; б — скругленное входное горизонтальное ребро порога

т. е. действительная глубина на пороге h меньше критической глубины, а также меньше глубины, получаемой по Беланже; только при весьма плавном скруглении входного ребра водослива величина h приближается к критической глубине.

Кроме того, эксперименты показали, что величина коэффициента расхода m существенно зависит от отношения $c_n : H$, а также от отношения $b : B_0$, т. е. от степени сжатия потока, поступающего на водослив с боков.

Весьма подробные теоретические и экспериментальные исследования указанных вопросов были проведены рядом авторов.

Ниже изложим в несколько измененном виде метод расчета водосливов с широким порогом, нашедший отражение в Технических условиях и нормах б. Министерства электростанций (ТУ 12-51).¹ Согласно этому методу, в значительной мере основанному на работах Д. И. Кумина, расчет неподтопленного водослива с широким порогом выполняем следующим образом.

1. Расход воды, переливающейся через водослив, определяем по формуле

$$Q = \epsilon m b \sqrt{2g} H_0^{3/2}, \quad (11-55)$$

где ϵ — так называемый коэффициент бокового сжатия струи, поступающей в водосливное отверстие (см. рис. 11-7, б); величина ϵ учитывает пространственную работу водослива; с некоторым приближением она определяется по формуле:

$$\epsilon = b_2/b; \quad (11-56)$$

для условий плоской задачи (рис. 11-7, а), когда $b = B_0$, величина $\epsilon = 1.0$. Отсюда видно, что коэффициент расхода m , входящий в формулу (11-55), отвечает упомянутым условиям плоской задачи (когда рассматриваемый водослив работает без бокового сжатия струи; $\epsilon = 1.0$).

2. В случае, если

$$\Omega_n > 4(bH), \quad (11-57)$$

где Ω_n — площадь живого сечения по линии а-а (рис. 11-20), скоростью подхода v_0 пренебрегаем, причем расчетную зависимость (11-55) переписываем:

$$Q = \epsilon m b \sqrt{2g} H^{3/2}. \quad (11-58)$$

Заметим, что расчет по формуле (11-58) значительно проще, чем по формуле (11-55); уравнение (11-55) обычно приходится решать методом последовательного приближения.

3. При отсутствии бокового сжатия ($\epsilon = 1.0$) коэффициент расхода m в формулах (11-55) и (11-58) берется из табл. 11-1 и 11-2 (составленных на основании опытов Д. И. Кумина) в зависимости от величины

$$\eta = c_n/H, \quad (11-59)$$

а также в зависимости от очертания входного горизонтального ребра водослива. В первом приближении величину m в данном случае можно принимать равной: $m = 0,32$ — для порога на рис. 11-21, а; $m = 0,35$ — для порога на рис. 11-21, б.

4. При наличии бокового сжатия ($\epsilon < 1.0$) коэффициент расхода m в формулах (11-55) и (11-58) определяется, как указано выше в п. 3. Величина же ϵ назначается в зависимости от очертания (в плане) входных вертикальных ребер A устоев, ограничивающих данное водосливное

¹ Руководствуясь этими ТУ (составленными нами в 1951 г., см. [11-10]), а также учитывая некоторые новые предложения, включенные во второе издание указанного нормативного документа [11-5; 11-6], мы и излагаем различные расчеты водосливов, освещаемые в этой главе.

отверстие (рис. 11-22). В первом приближении (при $H_0 : b \leq 1.0$) величину ϵ можно назначать, например, в пределах

$$\epsilon \approx 0,85 \div 0,95, \quad (11-60)$$

учитывая, что большие значения ϵ должны относиться к схемам, когда входные вертикальные ребра устоев скруглены или притуплены. Для приближенной оценки величины ϵ рекомендуют также формулу следующего вида:

$$\epsilon = 1 - 0,2 \xi_{\gamma} \frac{H_0}{b}, \quad (11-60')$$

где ξ_{γ} — коэффициент уменьшения, учитывающий скругление или притупление вертикальных ребер устоев (величину ξ_{γ} — см. на рис. 11-22)¹

Уточненное значение ϵ для случая, когда

$$\frac{H}{b} \leq 1,0; \quad \frac{a}{H} = 0,0 \div 0,5; \quad \frac{a}{b} = 0,0 \div 0,5. \quad (11-61)$$

может быть определено по формуле Г. К. Дерюгина (полученной на основании обобщения соответствующих экспериментальных данных):

$$\epsilon = 1 - \frac{K_b/B_0}{1 + c_a/H} \left(K_{\text{длн}} \frac{c_a}{b} + K_{\text{об}} \right), \quad (11-62)$$

где под величиной a следует понимать радиус r скругления входных вертикальных ребер или величину f «при-

Таблица 11-1

Коэффициенты расхода m для водослива с широким порогом без бокового сжатия (плоская задача; $b = B_0$; $\epsilon = 1,0$)
Случай водосливной стенки (порога) с вертикальной или наклонной верхней гранью



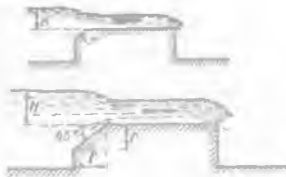
| $\eta = \frac{c_a}{H}$ | Вертикальная грань $ctg \theta = 0$ | $ctg \theta$ | | | |
|------------------------|-------------------------------------|--------------|-------|-------|------------|
| | | 0,5 | 1,0 | 1,5 | $\geq 2,5$ |
| 0,0 | 0,385 | 0,385 | 0,385 | 0,385 | 0,385 |
| 0,2 | 0,366 | 0,372 | 0,377 | 0,380 | 0,382 |
| 0,4 | 0,356 | 0,365 | 0,373 | 0,377 | 0,381 |
| 0,6 | 0,350 | 0,361 | 0,370 | 0,376 | 0,380 |
| 0,8 | 0,345 | 0,357 | 0,368 | 0,375 | 0,379 |
| 1,0 | 0,342 | 0,355 | 0,367 | 0,374 | 0,378 |
| 2,0 | 0,333 | 0,349 | 0,363 | 0,371 | 0,377 |
| 4,0 | 0,327 | 0,345 | 0,361 | 0,370 | 0,376 |
| 8,0 | 0,324 | 0,343 | 0,360 | 0,369 | 0,376 |
| ∞ | 0,320 | 0,340 | 0,358 | 0,368 | 0,375 |

Таблица 11-2

Коэффициент расхода m для водослива с широким порогом без бокового сжатия (плоская задача; $b = B_0$; $\epsilon = 1,0$)

Случай водосливной стенки (порога) с вертикальной верхней гранью и скругленным или притупленным входным ребром

| $\eta = \frac{c_a}{H}$ | $\frac{r}{H}$ или $\frac{f}{H}$ | | | $\frac{r}{H}$ | |
|------------------------|---------------------------------|-------|-------|---------------|------------|
| | 0,025 | 0,05 | 0,2 | 0,6 | $\geq 1,0$ |
| 0,0 | 0,385 | 0,385 | 0,385 | 0,385 | 0,385 |
| 0,2 | 0,372 | 0,374 | 0,377 | 0,380 | 0,382 |
| 0,4 | 0,365 | 0,368 | 0,374 | 0,377 | 0,381 |
| 0,6 | 0,361 | 0,364 | 0,370 | 0,376 | 0,380 |
| 0,8 | 0,357 | 0,361 | 0,368 | 0,375 | 0,379 |
| 1,0 | 0,355 | 0,359 | 0,366 | 0,374 | 0,378 |
| 2,0 | 0,349 | 0,354 | 0,363 | 0,371 | 0,377 |
| 6,0 | 0,344 | 0,349 | 0,359 | 0,369 | 0,376 |
| ∞ | 0,340 | 0,346 | 0,357 | 0,368 | 0,375 |



Примечание. При $f/H > 0,2$ коэффициент расхода m следует принимать соответствующим этому крайнему значению отношения.

¹ Формула (11-60') дает хорошие результаты в случае высоких водосливных стенок ($c_a > 3H$) и при наличии совершенного бокового сжатия (когда $B_0 > 3r$).

тупления» этих ребер (см. рис. 11-22, б и в, на котором представлен устой, ограничивающий боковую стенку данное водосливное отверстие): $a = r = f$.¹

Входящие в формулу (11-62) коэффициенты K равны.

а) K_{b/B_0} — коэффициент, учитывающий влияние на величину ϵ отношения b/B_0 .

$$K_{b/B_0} = 1,0 \text{ при } b/B_0 \leq 0,2; \quad (11-63)$$

$$K_{b/B_0} = 1,0 - 1,4 \left(\frac{b}{B_0} - 0,2 \right)^{3/2} \text{ при } \frac{b}{B_0} > 0,2, \quad (11-64)$$

при отсутствии бокового сжатия ($b = B_0$) величина $K_{b/B_0} = 0$, причем, согласно формуле (11-62), величина $\epsilon = 1,0$;

б) $K_{a/H}$ — коэффициент, учитывающий влияние на величину ϵ отношения a/H :

$$K_{a/H} = 0,04 \text{ при } a/H \geq 0,5; \quad (11-65)$$

$$K_{a/H} = 0,17 - \sqrt{\frac{1}{30} \frac{a}{H}} \text{ при } a/H < 0,5; \quad (11-66)$$

в) $K_{a,b}$ — коэффициент, учитывающий влияние на величину ϵ отношения a/b :

$$K_{a,b} = 0,04 \text{ при } a/b \geq 0,5; \quad (11-67)$$



Рис. 11-22. Устой (в плане), ограничивающий боковую стенку водосливное отверстие

А — входное вертикальное ребро устоя (или быка)

$$K_{a,b} = 0,17 - \sqrt{\frac{1}{30} \frac{a}{b}} \text{ при } a/b < 0,5. \quad (11-68)$$

При отсутствии скругления или притупления входных ребер (рис. 11-22, а) получаем

$$K_{a,b} = K_{a,b} = 0,17. \quad (11-69)$$

В отдельных частных случаях формула (11-62) упрощается:

а) при наличии так называемого водослива без порога, т.е. когда $c_b = 0$ (см. далее рис. 11-28):

$$\epsilon = 1 - K_{a/H} K_{a,b}; \quad (11-70)$$

в частном же случае водослива без порога, когда $b/B_0 \leq 0,2$, величина

$$\epsilon = 1 - K_{a,b}; \quad (11-71)$$

б) при наличии весьма высокого порога ($c_b \geq 5H$):

$$\epsilon = 1 - K_{b/B_0} K_{a/H} \frac{H}{b}; \quad (11-72)$$

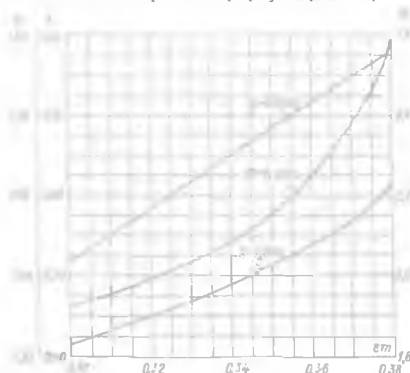


Рис. 11-23. Кривые: $\phi = f_1(\epsilon m)$; $\Phi = f_2(\epsilon m)$; $k = f_3(\epsilon m)$ для расчета водослива с широким порогом

¹ Зависимость (11-62) относится к случаям, характеризующимся любыми отношениями B_0/b и c_b/H .

вход; здесь поток претерпевает сжатие; б) собственно водослив (между сечениями 1-1 и 2-2), где потерями напора пренебрегают; в) выходную часть (между сечениями 2-2 и n-n), в пределах которой имеет место потеря напора на выход; здесь поток получает резкое расширение.

Как видно, подтопленный водослив характеризуется в общем случае наличием одного положительного перепада Z_+ и одного отрицательного перепада Z_{-} . Свободная поверхность за сечением 2-2 может подниматься вверх на величину $Z_{вс}$, благодаря тому, что часть кинетической энергии потока в этом месте переходит в потенциальную энергию. В связи с этим перепад

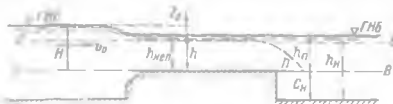


Рис. 11-25. Подтопленный водослив с широким порогом при отсутствии перепада восстановления

$Z_{вс}$ называется перепадом восстановления (см. § 5-6). Заметим, однако, что при наличии больших потерь напора в пределах выходного участка водослива перепад $Z_{вс}$ может и не иметь места.

В «старых способах» расчета перепадом восстановления $Z_{вс}$ пренебрегали и представляли себе картину истечения в случае подтопленного водослива в виде, показанном на рис. 11-25, т. е. считали, что подтопленный водослив характеризуется наличием только одного перепада свободной поверхности Z_+ .

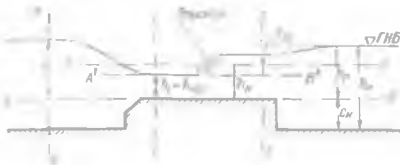


Рис. 11-26. Подтопление водослива с широким порогом (с являющимся гидравлическим прыжком)

Представим на рис. 11-25 штриховой линией поверхность струи, которая получается, когда при заданном H водослив является неподтопленным ($h_{всп}$ — глубина, которая сама собой устанавливается на пороге в этом случае; $A'B'$ — уровень, возвышающийся на величину $h_{всп}$ над порогом водослива).

Следуя упомянутым «старым способам», надо считать, что как только горизонт воды нижнего бьефа поднимется выше линии $A'B'$, т. е. как только высота подтопления h_n (см. чертеж) делается больше глубины $h_{всп}$:

$$h_n > h_{всп} \quad (11-76)$$

указанный горизонт воды начнет надвигаться на порог и покрывать струю неподтопленного водослива; при этом глубина воды на пороге будет расти, и расход Q (при $H = \text{const}$) начнет уменьшаться или напор H (при $Q = \text{const}$) начнет увеличиваться, т. е. мы получим подтопленный водослив.

Как видно, в том случае, когда пренебрегаем перепадом восстановления, можно сказать, что водослив с широким порогом получается подтопленным, если уровень воды нижнего бьефа поднимается выше того горизонта воды, который сам собой устанавливается на пороге неподтопленного водослива

Имея это в виду, получаем следующие критерии подтопления водослива:

1) согласно Белянже, водослив с широким порогом следует считать подтопленным, если¹

$$h_n > \frac{2}{3} H_0 \quad \text{или} \quad h_n > c_n + \frac{2}{3} H_0, \quad (11-77)$$

поскольку, по Белянже, $h_{\text{мен}} = \frac{2}{3} H_0$;

2) согласно Бахметеву, водослив следует считать подтопленным, если

$$h_n > h_* \quad \text{или} \quad h_n > c_n + h_*, \quad (11-78)$$

поскольку, по Бахметеву, $h_{\text{мен}} = h_*$.

Что касается «новых способов» расчета водослива с широким порогом, то согласно им, когда водослив не подтоплен в сечении I-I устанавливается глубина (рис. 11-26) $h_1 = h_{\text{мен}} < h_*$.

Поэтому, когда горизонт воды нижнего бьефа, поднявшись выше линии K-K, определяемой критической глубиной, будет надвигаться на порог водослива, на последнем возникнет гидравлический прыжок и сечение I-I при соотношении (11-76) может оказаться не покрытым горизонтом воды нижнего бьефа. В этом случае (рис. 11-26) водослив будет еще неподтопленным (хотя картина истечения здесь будет иная, чем что показано на рис. 11-20). Подтопление такого водослива (обуславливающее уменьшение Q при заданном H или увеличение H при заданном Q) наступит только после того, как упомянутый прыжок при дальнейшем поднятии горизонта воды нижнего бьефа переместится выше сечения I-I.

Исследования Р. Р. Чугаева, проведенные с учетом явления гидравлического прыжка на водосливе и с учетом поясненного выше перепада восстановления $Z_{\text{ж}}$, показали, что водослив с широким порогом следует считать подтопленным, если высота подтопления

$$h_n > nH_0 \quad \text{или} \quad h_n > \sqrt{\frac{n}{2m^3}} h_*, \quad (11-79)$$

где

$$n = 0,85 \div 0,75. \quad (11-80)$$

Уточненное значение n , лежащее в пределах от 0,85 до 0,75, может быть найдено по графику, приводимому в [11-13, фиг. 17] или в [11-7, рис. 14], однако к этому графику часто нет надобности обращаться, так как во многих случаях отношение $h_n : H_0$ заведомо или меньше 0,75 или больше 0,85.

§ 11-10. ПОДТОПЛЕННЫЙ ВОДОСЛИВ С ШИРОКИМ ПОРОГОМ

Поясним здесь три способа расчета, которые мы рассматривали выше: Белянже, Бахметева и способ, приводимый в [11-13; 11-7] (основанный на данных Д. И. Кумина).

1°. Способ Белянже. Согласно Белянже, принимаем $Z_{\text{вс}} = 0$, причем глубину на пороге подтопленного водослива получаем (рис. 11-25)

¹ Здесь через h_n обозначена глубина воды в нижнем бьефе.

$$\boxed{h = h_n} \text{ или } \boxed{h = h_n - c_n}, \quad (11-81)$$

где h_n — высота подтопления.

Зная глубину на пороге водослива и величины H и b , расход Q находим по формуле (11-30), которую переписываем в виде

$$\boxed{Q = \varphi b h_n \sqrt{2g(H_0 - h_n)} = \varphi b h_n \sqrt{2g(Z_n)_0};} \quad (11-82)$$

численные значения φ см. в § 11-8, п. 2°. По этой формуле можно найти также H , если известно Q , h_n и b .

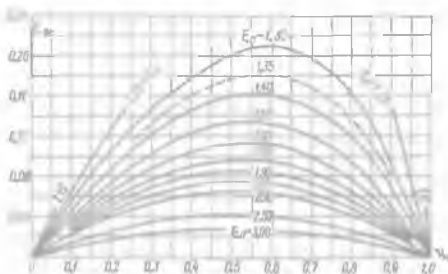


Рис 11-27 График Чугаева для определения перепада восстановления

2°. **Способ Бахметева.** Способ Бахметева отличается от способа Беланже только критериями подтопления (см § 11-9). Расчетные же формулы, относящиеся к подтопленному водосливу, здесь останутся теми же, что и в способе Беланже [см. формулы (11-81) и (11-82)].

3°. **Способ, приводимый в ТУ 12-51.** Согласно этому способу, расчет подтопленного водослива ведем по формуле (рис. 11-24)

$$\boxed{Q = \varphi_n b h_1 \sqrt{2g(H_0 - h_1)}}; \quad (11-83)$$

φ_n здесь берется, в соответствии с экспериментальными данными Д. И. Кумина, из особой таблички в зависимости от величины εn , которая должна быть предварительно установлена, как указано в § 11-8:

| | | | | | |
|---------------------------|------|------|------|------|------|
| εn | 0,30 | 0,32 | 0,34 | 0,36 | 0,38 |
| φ_n | 0,77 | 0,84 | 0,90 | 0,96 | 0,99 |

Глубина h_1 в сечении $l-l$ (рис. 11-24), входящая в формулу (11-83), принимается равной:

$$h_1 = h_2 = h_n - Z_{вс}, \quad (11-84)$$

где

$$Z_{вс} = \zeta_{вс} h_n, \quad (11-85)$$

причем здесь h_n находится по формуле (7-49); $\zeta_{вс}$ — относительный перепад

восстановления, определяемый по графику Р. Р. Чугаева (рис 11-27) в зависимости от величины¹

$$E_{\text{в}} = h_{\text{в}}/h_0 \text{ и } v_{\text{в}} = h_{\text{в}}h/(h_0B_0). \quad (11-86)$$

В первом приближении перепадом восстановления следует пренебрегать. При этом, как видно, формула (11-83) отличается от формулы (11-82) только уточненным значением коэффициента скорости $\varphi_{\text{в}}$.

В случае учета перепада восстановления формула (11-83) решается в отношении Q (при заданных H и h) или в отношении h (при заданных Q и H) путем подбора; в отношении же H данная формула решается без подбора (если будем пренебрегать скоростью подхода v_0).

Что касается размеров δ_1 и δ_3 (рис. 11-24), то они определяются по формуле (11-24), т.е. так же, как и в случае неподтопленного водослива.

В заключение подчеркнем, что в случае полтопленного водослива с широким порогом расчетная формула (11-82) или (11-83) имеет вид, отличный от расчетной формулы, используемой во всех других случаях водослива.

§ 11-11 РАСЧЕТ ВОДОСЛИВА БЕЗ ПОРОГА ПО ЗАДАННОЙ СКОРОСТИ В ВОДОСЛИВНОМ ОТВЕРСТИИ СТЕСНЕНИЕ РУСЛА ПЕРЕМЫЧКАМИ

В практике, например, железнодорожного строительства устраивают небольшие мостики и безнапорные трубы, работающие по схеме, представленной на рис. 11-28. В этом случае высота водосливной стенки $s = 0$ (водосливного порога здесь нет).

Водослив без порога с некоторым приближением можно рассматривать как частный случай водослива с широким порогом (§ 11-8, 11-9, 11-10),² при этом его можно рассчитывать, пользуясь всеми теми способами, которые были изложены ранее.



Рис. 11-28 Водослив без порога (отверстие железнодорожного мостика)

Задача расчета здесь ставится несколько иначе, чем для обыкновенных водосливов. Обычно для расчета железнодорожного мостика задают (рис 11-28):

1) скорость v в водосливном отверстии (в пролете мостика); в качестве такой скорости, как правило, принимают максимальную допустимую скорость $v_{\text{макс}}$ для крепления русла в пределах водосливного отверстия;³

2) высоту насыпи $H_{\text{нас}}$; при пропуске через водослив расчетного расхода Q напор на водосливе H должен получаться меньше $H_{\text{нас}}$:

$$H < H_{\text{нас}}, \quad (11-87)$$

иначе железнодорожное полотно будет затоплено;⁴

¹ Перепад восстановления $Z_{\text{в}}$ здесь был найден по общему методу (см § 5-6).

² См. петит в конце § 11-1 (стр. 408).

³ Иногда, имея в виду боковое сжатие потока под мостом, скорость v принимают равной $v_{\text{макс}}$. Величину $v_{\text{макс}}$ назначают обычно по данным гл. 6, относящейся к равномерному движению воды. Строго говоря, это не вполне правильно, так как условия движения воды под мостом (зторы осредненных скоростей и интенсивность пульсации скорости) отличны от условий равномерного движения.

⁴ Иногда в формуле (11-87) под величиной $H_{\text{нас}}$ понимают превышение низа пролетного строения мостика над лном водотока.

3) расход Q : величину расхода Q обычно устанавливают на основании особых гидрологических расчетов (связываясь с площадью бассейна водотока, через который устраняют мостик, и т. п.);

4) глубину воды в нижнем бьефе h_n , получающуюся при пропуске расхода Q ; эта глубина, как правило, принимается равной естественной глубине, получающейся в русле при пропуске расхода Q .

Исходя из указанных величин, при помощи гидравлического расчета устанавливают ширину водослива b , т. е. отверстие проектируемого мостика.

Такая задача решается следующим образом.

Предполагаем, что рассматриваемый водослив является неподтопленным. При этом, имея величину скорости v , определяем напор на водосливе H_0 , пользуясь зависимостью

$$H_0 = \Phi \frac{v^2}{2g}, \quad (11-88)$$

где величина Φ , как это нетрудно показать,¹

$$\Phi = \frac{1}{\varphi^2(1-k)}. \quad (11-89)$$

Величину Φ можно определить, установив предварительно коэффициент расхода m , а затем ε , φ и k (как пояснялось в § 11-8). Эту величину также можно найти по графику на рис. 11-23, где дается кривая $\Phi = f_2(\varepsilon m)$; пользуясь этой кривой, по известной величине εm находим Φ .

Следует подчеркнуть, что в рассматриваемом случае почти всегда допустимо пренебречь скоростью подхода v_0 . Поэтому можно считать, что

$$H_0 \approx H. \quad (11-90)$$

Зная, таким образом, геометрический напор на водосливе, сопоставляем его с высотой насыли $H_{\text{нас}}$. Если условие (11-87) оказывается невыдержанным, то приходится уменьшать скорость в пролете мостика, добиваясь соблюдения неравенства (11-87). Заметим, что уменьшая скорость v , мы при этом будем увеличивать пролет мостика (см. ниже), т. е. получать более дорогой мостик.

Установив величину $H_0 \approx H$, проверяем, действительно ли наш водослив является неподтопленным. Для этого (см. § 11-9) сопоставляем заданную глубину нижнего бьефа h_n с величиной, равной $0,75H$.

Если оказывается, что

$$h_n < 0,75H, \quad (11-91)$$

то водослив неподтоплен, при этом обращаемся к определению ширины водослива b . Размер b находим по формуле

$$b = \frac{Q}{v h}, \quad (11-92)$$

где

$$h = k H_0. \quad (11-93)$$

Здесь коэффициент k определяем, как указано выше (в зависимости от величины εm), величину k легко также найти по графику на рис. 11-23.

Если неравенство (11-91) оказывается невыдержанным, то заключаем, что наш водослив будет подтоплен. При этом сделанные выше вычисления H отбрасываем и рассчитываем водослив как подтопленный. Здесь можно придерживаться следующей схемы расчета.

¹ Действительно, согласно (11-27), имеем $v = \varphi \sqrt{2g(H_0 - h)} = \varphi \sqrt{2gH_0(1-k)}$, а следовательно, $H_0 = \frac{1}{\varphi^2(1-k)} \frac{v^2}{2g}$, откуда и получаем (11-89).

1. Пренебрегая перепадом восстановления $Z_{вс}$, считаем, что глубина воды в пролете мостика

$$h = h_n. \quad (11-94)$$

2. Имея скорость v , вычисляем пролет мостика:

$$h = \frac{Q}{v h_n}. \quad (11-95)$$

3. Для скорости v имеем формулу (11-27):

$$v = \varphi \sqrt{2g(Z_n)_0}. \quad (11-96)$$

Решая это уравнение в отношении $(Z_n)_0$, получаем:

$$(Z_n)_0 = \frac{1}{\varphi^2} \frac{v^2}{2g}. \quad (11-97)$$



Рис. 11-29. Стеснение русла перемычкой

По этой зависимости, подставив вместо φ величину φ_n (см § 11-10) и считая $(Z_n)_0 \approx Z_n$, находим верховой входной перепад свободной поверхности Z_n :

$$Z_n = \frac{1}{\varphi_n^2} \frac{v^2}{2g}. \quad (11-98)$$

4. Зная Z_n , определяем H :

$$H = h_n + Z_n. \quad (11-99)$$

5. Найденное по (11-99) значение H сопоставляем с величиной $H_{нас}$. Если оказывается, что неравенство (11-87) не выдержано, то приходится уменьшать скорость v в пролете мостика и идти на увеличение ширины водосливного отверстия. При этом будем получать снижение перепада Z_n , а следовательно, уменьшение напора H .

Заметим в заключение, что, следуя описанному выше методу, в некоторых случаях можно рассчитывать (с известным приближением¹) стеснение рек, вызванное постройкой перемычек, сооружаемых при возведении плотин. Более точное решение этого вопроса излагается ниже.

Расчет стеснения русла перемычками [11-4]. При возведении основных сооружений, входящих в гидротехнический узел, создаваемый на реке, приходится строить временные

¹ Не в сторону запаса. См. петит в конце § 11-1 (стр. 408).

сооружения (перемычки, дамбы и т. п.). Под защитой таких временных сооружений и осуществляется постройка основных сооружений (плотины и т. п.).

Временные сооружения (перемычки) стесняют естественное (бытовое) русло реки и вызывают деформацию погога, причем эта деформация распространяется на участок реки значительной протяженности (участок деформации). В зависимости от характера возникающих здесь гидравлических явлений часть реки, в пределах которой возникла деформация потока, в свою очередь, может быть подразделена (в случае спокойного движения воды в русле) на следующие участки (рис. 11-29).

1. Участок подпора, ограниченный сечением $a-a$ (выше которого река находится в естественном состоянии) и сечением $n-n$ (проведенным так, как было указано в § 11-1). По длине участка подпора происходит увеличение глубины потока, сопровождающееся уменьшением скоростей, а следовательно, и уменьшением потерь напора. В результате получаем накопление потенциальной энергии, необходимой потоку для преодоления сопротивлений, обусловленных перемычкой P . Превышение подпертого уровня воды в сечении $a-a$ над естественным уровнем обозначим через Z' , причем величину Z' будем именовать максимальным подпором.

2. Участок сжатия, ограниченный сечением $b-b$ и сечением $n-n$, намеченным в месте выхода потока из отверстия, образованного перемычкой¹. Этот участок характеризуется интенсивным преобразованием потенциальной энергии в кинетическую. Потери напора на этом участке сравнительно малы. Как видно из чертежа, на данном участке возникает максимальный перепад Z'' , обусловленный в основном переходом потенциальной энергии в кинетическую.

3. Участок растекания, ограниченный сечением $n-n$ и сечением $k-k$, намеченным в месте, где заканчивается водоворотная область, образующаяся в нижнем бьефе. Переход кинетической энергии в потенциальную здесь сопровождается значительной потерей напора.

4. Участок перехода, ограниченный сечением $k-k$ и сечением $b-b$, намеченным в месте, где эпюра осредненных скоростей приобретает нормальный вид, причем повышенные пульсации скоростей и давлений, возникающих на участке растекания, снижаются до величин, свойственных естественному потоку.

Рассматривая стесненное русло как подтопленный водослив с широким порогом, под величиной геометрического перепада Z на водосливе условимся понимать превышение подпертого уровня воды в сечении $a-a$ над уровнем воды в сечении $k-k$ (уровень воды в сечении $k-k$ мало отличается от уровня воды в сечении $b-b$).

Не следует смешивать «подпор» Z и «перепад» Z . Если пренебречь малой разницей в кинетических энергиях, подчитанных для сечений $a-a$ и $b-b$, то можно сказать, что, во-первых, Z (перепад) представляет собой потерю напора в пределах участков сильной деформации потока (участков сжатия и растекания), и во-вторых, Z' (подпор) — разность потерь напора на этих же участках потока в стесненном и естественном руслах.

Гидравлический расчет естественного и неразмываемого русла² выполняется в предположении, что нам заданы: а) само неразмываемое русло; б) расчетный расход; в) размеры и очертание перемычки в плане; г) кривая связи бытовых (естественных) глубин и расходов реки.

В результате гидравлического расчета необходимо найти перепад Z и подпор Z' с тем, чтобы, зная эти величины, установить отметку гребня перемычки. Такую задачу для русла прямоугольного поперечного сечения приближенно можно решить, пользуясь следующими расчетными формулами [11-4]:

$$Z = (i_f - i_n)(L_{\text{нп}} + L_n) + (i_n - i_b)L_n + \Theta^2 \frac{v_c^2}{2g};$$

$$Z = \bar{i}_f(L_{\text{нп}} + L_n) + i_n L_n + \Theta^2 \frac{v_c^2}{2g}.$$

¹ Здесь ограничиваемся рассмотрением случая безотрывного обтекания потоком входного вертикального ребра перемычки (считаем, что бокового сжатия потока в пределах водосливного отверстия нет).

² Учет размываемости русла в значительной мере усложняет задачу. Этого вопроса здесь не будем касаться.

Здесь Θ — степень стеснения русла

$$\Theta = b_n/B_p$$

где B_p — ширина естественного русла, b_n — длина перемычки, заданная для расчета (рис. 11-29).

i_n — уклон трения для естественного русла

$$i_n = \frac{v_n^2}{C_n^2 R_n}$$

причем здесь v_n , C_n и R_n подсчитываются для сечения $b-b$;

i_n — уклон трения для «протоки»

$$i_n = \frac{v_n^2}{C_n^2 R_n}$$

причем здесь v_n , C_n и R_n подсчитываются для сечения $n-n$, уровень воды в котором принимается (в первом приближении) тот же что и в сечении $b-b$; i_f — средний уклон трения для входного участка (длиной $L_{вх}$, см. ниже) и участка растекания, равный, например,

$$i_f = \sqrt{g \psi_n}$$

$L_{вх}$ — длина входного участка. Ее рекомендуют принимать равной ширине B стесненной части русла («протоки»);

L_n — длина «водосливного канала» (задана для расчета);

L_n — длина водоворотной области;

$$L_n = \frac{b_n}{\text{tg } \psi}$$

причем здесь угол ψ указан на чертеже.

Для вычисления $\text{tg } \psi$ И. В. Лебедев рекомендует следующую формулу:

$$\text{tg } \psi = a \frac{\lambda \beta \Theta}{\text{tg } \frac{1}{1-\Theta}} = a \frac{\lambda B_p \Theta}{R_p \text{tg } \frac{1}{1-\Theta}}$$

где λ — коэффициент гидравлического трения:

$$\lambda = \frac{8g}{C_p^2}$$

величины B_p , R_p и C_p , входящие в указанные формулы, вычисляются для сечения $b-b$ при уровне воды в нем, совпадающем с естественным уровнем.

Как показывают опыты, коэффициент a , входящий в формулу для $\text{tg } \psi$, будет

$$a = 0,01 + 0,056 \Theta;$$

эта формула справедлива для случая, когда

$$0,2 \leq \Theta \leq 0,8 \text{ и } \lambda \frac{B_p}{R_p} \geq 3 \div 4.$$

В. ПРЯМЫЕ ПРЯМОУГОЛЬНЫЕ ВОДОСЛИВЫ СО СТЕНКОЙ ПРАКТИЧЕСКОГО ПРОФИЛЯ

§ 11-12 ДОПОЛНИТЕЛЬНАЯ КЛАССИФИКАЦИЯ ВОДОСЛИВОВ СО СТЕНКОЙ ПРАКТИЧЕСКОГО ПРОФИЛЯ

В случае водосливов со стенкой практического профиля приходится дополнительно различать:

1) вакуумные водосливы, характеризующиеся тем, что на поверхности гребня водосливной стенки под струей образуется вакуум;

2) безвакуумные водосливы нормального очертания, когда положительное давление под струей близко к атмосферному;

3) безвакуумные водосливы с уширенным гребнем, когда положительное давление на гребне под струей значительно отличается от атмосферного.

Одна и та же водосливная стенка в зависимости от величины напора H может работать и как безвакуумная, и как вакуумная. Поясним это положение, пользуясь рис. 11-30.

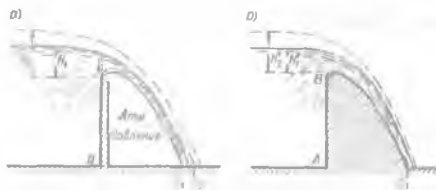


Рис 11-30. Построение очертания поперечного профиля безвакуумной водосливной плотины

Положим, что на рис. 11-30,а имеется нормальный водослив с тонкой стенкой, причем напору H_1 отвечает струя, ограниченная снизу кривой bc_1 . Под струей, ниспадающей с водосливной стенки, имеется атмосферное давление. Если выполнить водосливную стенку практического профиля ABC_1 (рис. 11-30,б) так, чтобы сливная поверхность BC_1 этой стенки была в точности очерчена по кривой bc_1 , то при этом получим безвакуумный профиль нормального очертания. Если теперь увеличить напор на водосливе до величины H_2 , то при этом нижняя граница струи на рис. 11-30,а примет положение bc_2 ; что касается сливной поверхности BC_1 практического профиля (рис. 11-30,б), то здесь струя будет стремиться оторваться от сливной поверхности BC_1 , причем под струей возникнет вакуум, и мы получим при увеличенном напоре H'_2 уже вакуумный водослив.

§ 11-13. ОСНОВНАЯ РАСЧЕТНАЯ ФОРМУЛА ДЛЯ ВОДОСЛИВОВ (О) СТЕНКОЙ ПРАКТИЧЕСКОГО ПРОФИЛЯ

С водосливными стенками практического профиля часто приходится сталкиваться при проектировании плотин (см. рис. 11-31, на котором изображена плотина). Как видно, в гребне плотины может быть устроено несколько водосливных отверстий, разделенных быками. Крайние отверстия (левое и правое) ограничены со стороны берегов так называемыми устоями. В общем случае отметки гребня водосливных стенок (V Гр. в. с.) в пределах отдельных отверстий могут быть разными. Однако далее мы будем рассматривать наиболее простой случай, когда указанные отметки одинаковы.

Для расчета водосливов со стенкой практического профиля (рис. 11-31) удобно пользоваться водосливной формулой, записанной в виде:

$$Q = \sigma_v \epsilon m B \sqrt{2g} H_0^{3/2}, \quad (11-100)$$

где B – ширина водосливного фронта:

$$B = \sum b, \quad (11-101)$$

здесь b — ширина отдельных водосливных отверстий; σ_n — коэффициент подтопления, учитывающий уменьшение Q благодаря подтоплению водослива нижним бьефом; для неподтопленного водослива $\sigma_n = 1$; ϵ — коэффициент бокового сжатия:

$$\epsilon = B_e/B, \quad (11-102)$$

здесь B_e — действительная, или, иначе, эффективная ширина водосливного фронта:

$$B_e = \sum b_{c_i}$$

где b_{c_i} — так называемая сжатая ширина отдельных струй (см рис. 11-7); m — коэффициент расхода водослива.

В том случае, когда

$$\Omega_n > 4(BH), \quad (11-103)$$

где Ω_n — площадь живого сечения верхнего бьефа по линии $a-a$ (рис. 11-1), скоростью подхода следует пренебрегать и считать¹

$$H_0 = H. \quad (11-103')$$

Основным вопросом расчета водослива со стенкой практического профиля является вопрос о величине коэффициентов σ_n , ϵ и m . Зная для данного водослива величины этих коэффициентов, можем по формуле (11-100) легко решать следующие три основные задачи.²

- 1) дано B и H ; требуется найти Q ;
- 2) дано H и Q ; требуется найти B ;
- 3) дано B и Q ; требуется найти H .

Имея это в виду, ниже остановимся на пояснении вопроса о том, каким образом следует устанавливать численные значения коэффициентов σ_n , ϵ и m для того или другого конкретного случая водослива.

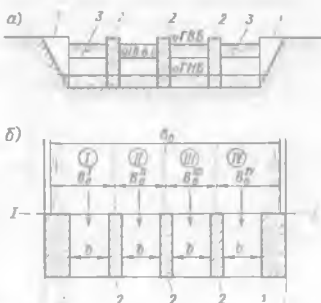


Рис. 11-31. Плотина: а — вид с нижнего бьефа, б — план плотины
1 — устоя, 2 — быки, 3 — гребень водосливной плотины (Гр в с)

§ 11-14. КОЭФФИЦИЕНТ ПОДТОПЛЕНИЯ ВОДОСЛИВА СО СТЕНКОЙ ПРАКТИЧЕСКОГО ПРОФИЛЯ

Величину σ_n надлежит устанавливать на основании экспериментальных данных, представленных в виде кривых, показанных на рис. 11-32.

Как видно, величина σ_n зависит от отношения $h_c : H_0$, где h_c — высота подтопления, т. е. превышение горизонта воды нижнего бьефа над гребнем водослива.

На рис. 11-32 нами даны три кривые:

¹ Погрешность в расчете величины Q , получающаяся из-за пренебрежения скоростью подхода, в случае (11-103) не превышает $\sim 2\%$.

² В случае учета скорости подхода v_0 некоторые из этих задач приходится решать по формуле (11-100) методом последовательного приближения.

- а) кривая I относится к вакуумным водосливам (см § 11-12);
 б) кривая II — к безвакуумным водосливам нормального очертания;
 в) кривая III — к безвакуумным водосливам с уширенным гребнем (приближающимся к водосливу с широким порогом).

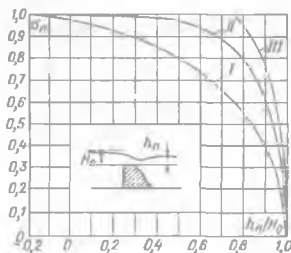


Рис. 11-32. График для определения коэффициента подтопления σ_n водослива вакуумного (I), безвакуумного нормального очертания (II), безвакуумного с уширенным гребнем (III)

принята равной 1.0, так как в этом случае водослива будет не подтоплен.

Сообразуясь с этими кривыми, и следует решать вопрос о величине σ_n ¹

Для определения σ_n может быть использована [при положительных значениях h_n/H_0 и при условии $h_n < (1 - 1.7m)^2 H_0$] также формула Г. К. Дерюгина, дающая значение σ_n в зависимости не только от h_n/H_0 , но и от коэффициента расхода расчитываемого водослива m :

$$\sigma_n = \sqrt{1 - \left[1 - \left(1 - \frac{h_n}{H_0} \right) \frac{1}{1 - \left(\frac{m}{0.59} \right)^2} \right]^2} \quad (11-104)$$

Если в нижнем бьефе имеется незатопленный гидравлический прыжок, то величина σ_n должна быть

§ 11-15. КОЭФФИЦИЕНТ БОКОВОГО СЖАТИЯ ДЛЯ ВОДОСЛИВА СО СТЕНКОЙ ПРАКТИЧЕСКОГО ПРОФИЛЯ

При наличии одного водосливного отверстия величина коэффициента бокового сжатия ϵ для водослива со стенкой практического профиля определяется так, как то было описано в § 11-8, п. 3 применительно к водосливу с широким порогом [см., в частности, приближенные рекомендации (11-60') и (11-60''), а также расчетную зависимость (11-62)].

В случае ряда отверстий (см. плотину на рис. 11-31) при $(H_0 : h) \leq 1,0$ приближенное значение ϵ , входящее в зависимость (11-100), иногда рекомендуют определять по формуле

$$\epsilon = 1 - 0,2 \frac{\xi_y + (n-1)\xi_0}{n} \frac{H_0}{h} \quad (11-105)$$

где n — число отдельных водосливных отверстий (одинакового размера); ξ_y — коэффициент уменьшения, учитывающий скругление вертикальных ребер устоев (см. рис. 11-22); ξ_0 — коэффициент уменьшения, учитывающий форму быков в плане (см. рис. 11-33).²

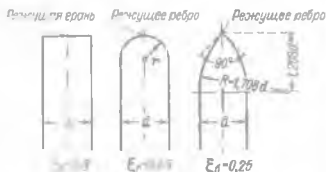


Рис. 11-33. Различные очертания (в плане) верховой части быков

¹ В литературе приводится только одна кривая II, что является недостаточным.

² Формула (11-105) справедлива для условий, указанных в сноске на стр. 421.

Уточненный расчет плотины (рис. 11-31), имеющей ряд отверстий, приходится выполнять, рассматривая каждое ее отверстие в отдельности. При этом план верхнего бьефа плотины расчленяем (согласно Н. П. Розанову) на отдельные фрагменты: I, II, III... (рис. 11-31, б), причем устанавливаем для каждого отдельного отверстия свою «ширину верхнего бьефа» (см. на рисунке B_0, B_0, \dots) и свою величину ϵ . Разумеется, прилагая формулу (11-100) к отдельному отверстию под величиной B в этой формуле должны понимать ширину данного отверстия b .

При желании отерировать все же полюй шириной водосливного фронта $B = \Sigma b$ в формулу (11-100) следует вводить некоторое среднее значение ϵ из найденных для отдельных отверстий. Такое среднее значение ϵ в первом приближении можно найти в некоторых случаях и не прибегая к фрагментированию верхнего бьефа, описанному выше. При этом, используя формулу (11-100), поступаем следующим образом: а) отношение b/B_0 , входящее в формулу (11-62), заменяем отношением B/B_0 , где B_0 — полная ширина русла в верхнем бьефе; б) отношение же a/b , входящее в указанныю формулу, заменяем отношением $a \cdot \frac{1}{n} \cdot B$, где n — намечаемое число отдельных отверстий.

В заключение отметим, что в некоторых случаях верхнюю («режущую») грань быков выдвигают в верхний бьеф (по отношению к верхней грани $l - l$ самой плотины; рис. 11-31, б). При этом величина ϵ может ощутимо изменяться. Однако этого случая мы здесь рассматривать не будем. Укажем только, что при выдвигании быков в верхний бьеф на расстояние большее $3H$ величину ϵ для отверстий, ограниченных такими быками, всегда следует принимать (при $c_0 > 3H$ и любом очертании быков) равной единице.

§ 11-16. КОЭФФИЦИЕНТ РАСХОДА ВОДОСЛИВА СО СТЕНКОЙ ПРАКТИЧЕСКОГО ПРОФИЛЯ

Водосливы со стенкой практического профиля разделяются на отдельные группы. Для каждой группы даются на основании опытов, проведенных в лаборатории, численные данные, необходимые для определения коэффициентов расхода m . Различают, в частности, следующие группы водосливов:

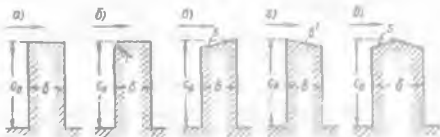


Рис. 11-34. Прямоугольные водосливные стенки

- 1) со стенкой прямоугольного поперечного сечения (рис. 11-34);
- 2) со стенкой трапециевидального очертания (рис. 11-35);
- 3) со стенкой треугольного сечения (рис. 11-36);¹
- 4) со стенкой трапециевидального очертания со скругленными углами (рис. 11-37);
- 5) с водосливной стенкой нормального очертания (Кригера — Офцерова), применяемой часто при сооружении водосливных плотин (рис. 11-38).

Н. Н. Павловский предложил выражать коэффициент расхода для той или другой группы водосливов при помощи следующей обобщенной формулы:

$$m = m_0 \sigma_n \sigma_{\phi} \quad (11-106)$$

¹ Эти стенки часто могут работать как водослив с тонкой стенкой.

где m_r — приведенный коэффициент расхода, найденный опытами: а) для определенного напора H , называемого профилирующим и обозначаемого через $H_{\text{проф}}$ и б) для одного из профилей, относящегося к данной группе (для так сказать представителя данной группы); σ_n — корректив, учитывающий изменение m при отклонении напора H от величины $H_{\text{проф}}$; этот корректив

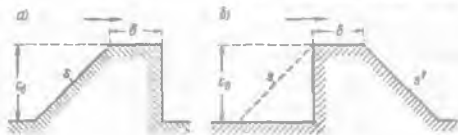


Рис. 11-35 Трапецидальные водосливные стенки

называется коэффициентом полноты напора; σ_ϕ — корректив, учитывающий изменение m при переходе от исследованного в лаборатории представителя данной группы к другому, интересующему нас профилю, относящемуся к той же группе водосливов; этот корректив называется коэффициентом формы.

Как видно, каждая группа водосливов характеризуется своим значением m . Дополнительно в литературе приводятся различные эмпирические формулы для поправок σ_n и σ_ϕ . Например, для группы прямоугольных водосливных стенок (см. выше п. 1) даются следующие зависимости для σ_n и σ_ϕ (обозначения см. на рис. 11-34):

Например, для группы прямоугольных водосливных стенок (см. выше п. 1) даются следующие зависимости для σ_n и σ_ϕ (обозначения см. на рис. 11-34):



Рис. 11-37. Водосливные стенки трапецидального очертания со скругленными углами

$$\sigma_n = 0.700 + 0.185 \frac{H}{\delta}; \quad (11-107)$$

$$\sigma_\phi = 1 + \frac{r}{H} \quad (11-108)$$

(для стенки типа рис. 11-34, б).

Очертание безвакуумных водосливных стенок нормального очертания (Кригера — Оффенберга) проектируют, как показано на рис. 11-30, б; водосливная поверхность стенки BC_1 очерчивается по нижней границе bc_1 струи, получающейся в случае перелива воды через тонкую водосливную стенку (рис. 11-30, а). Напор H , которому отвечает принятая линия bc_1 , считается

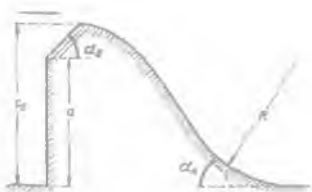


Рис. 11-38. Водосливная стенка нормального очертания (Кригера — Оффенберга)

равным профилирующему (именно для этого напора в данном случае экспериментальным путем были установлены величины m).

Соответствующие данные, необходимые для определения численных значений m , приводятся ниже.

КОЭФФИЦИЕНТЫ РАСХОДА m ДЛЯ ВОДОСЛИВА СО СТЕНКОЙ ПРАКТИЧЕСКОГО ПРОФИЛЯ¹

1°. Водосливная стенка Кригера — Оффенрова (рис 11-38). Для этой стенки при использовании формулы (11-106) следует принимать:

а) в случае большой высоты стенки, когда

$$r_{\text{н}} \geq 3H_{\text{проф}}$$

величину m , равной $m_0 = 0,504$, при этом коэффициент формы $\sigma_{\text{в}}$ берется из табл. 11-3 в зависимости от углов $\alpha_{\text{н}}$ и $\alpha_{\text{в}}$ и отношения $a/c_{\text{в}}$ (обозначения см. на рис 11-38), коэффициент полноты напора $\sigma_{\text{н}}$ — из табл. 11-4 в зависимости от угла $\alpha_{\text{в}}$ и от величины отношения $H/H_{\text{проф}}$.

б) в случае

$$0,15H_{\text{проф}} < c_{\text{в}} < 3H_{\text{проф}}$$

когда $\alpha_{\text{в}} = 90$ т. е. когда $a \approx c_{\text{в}}$, причем верхняя грань стенки вертикальна), величину m , равную

$$m_0 = 0,504 - 0,012 \frac{H_{\text{проф}}}{c_{\text{в}}}$$

Коэффициенты формы $\sigma_{\text{в}}$ для безвакуумной водосливной стенки Кригера-Оффенрова

| $\alpha_{\text{н}}$ | $\alpha_{\text{в}}$ | $a/c_{\text{в}}$ | | $\alpha_{\text{н}}$ | $\alpha_{\text{в}}$ | $a/c_{\text{в}}$ | | |
|---------------------|---------------------|------------------|------|---------------------|---------------------|------------------|------|------|
| | | 0 | 1.0 | | | 0 | 1.0 | |
| 15 | 15 | 0,88 | 0,93 | 55 | 45 | 0,98 | 0,99 | |
| | 30 | 0,91 | 0,97 | | 60 | 0,99 | 1,00 | |
| | 45 | 0,92 | 0,99 | | 75 | 15 | 0,93 | 0,93 |
| | 60 | 0,93 | 1,00 | | | 30 | 0,97 | 0,97 |
| 35 | 15 | 0,91 | 0,93 | 90 | 45 | 0,99 | 0,99 | |
| | 30 | 0,94 | 0,97 | | 60 | 1,00 | 1,00 | |
| | 45 | 0,96 | 0,99 | | 15 | 0,93 | 0,93 | |
| | 60 | 0,96 | 1,00 | | 30 | 0,97 | 0,97 | |
| 55 | 15 | 0,92 | 0,93 | 45 | 0,99 | 0,99 | | |
| | 30 | 0,96 | 0,97 | 60 | 1,00 | 1,00 | | |

Примечание При $\alpha_{\text{н}} > 60$ значения $\sigma_{\text{в}}$ надлежит принимать отвечающими $\alpha_{\text{н}} = 60$

Таблица 11-4

Коэффициенты полноты напора $\sigma_{\text{н}}$ для безвакуумной водосливной стенки Кригера-Оффенрова

| $\frac{H}{H_{\text{проф}}}$ | $\alpha_{\text{в}}$ | | | | | | | |
|-----------------------------|---------------------|------|------|------|------|------|------|------|
| | 20 | 30 | 40 | 50 | 60 | 70 | 80 | 90 |
| 0,2 | 0,89 | 0,89 | 0,88 | 0,87 | 0,86 | 0,86 | 0,85 | 0,84 |
| 0,4 | 0,93 | 0,93 | 0,92 | 0,92 | 0,91 | 0,91 | 0,91 | 0,90 |
| 0,6 | 0,96 | 0,96 | 0,95 | 0,95 | 0,95 | 0,95 | 0,94 | 0,94 |
| 0,8 | 0,98 | 0,98 | 0,98 | 0,98 | 0,98 | 0,98 | 0,97 | 0,97 |
| 1,0 | 1,00 | 1,00 | 1,00 | 1,00 | 1,00 | 1,00 | 1,00 | 1,00 |
| 1,2 | 1,02 | 1,02 | 1,02 | 1,02 | 1,02 | 1,02 | 1,02 | 1,02 |
| 1,4 | 1,03 | 1,03 | 1,04 | 1,04 | 1,04 | 1,04 | 1,04 | 1,05 |
| 1,6 | 1,04 | 1,05 | 1,05 | 1,05 | 1,06 | 1,06 | 1,06 | 1,06 |
| 1,8 | 1,06 | 1,06 | 1,06 | 1,07 | 1,07 | 1,07 | 1,08 | 1,08 |
| 2,0 | 1,07 | 1,07 | 1,08 | 1,08 | 1,09 | 1,09 | 1,09 | 1,10 |

¹ По данным Н П Розанова и А С Оффенрова

² Из предыдущего изложения ясно, что величины m , приводимые ниже, всегда должны относиться к плоской задаче, поскольку обстоятельства движения, отличающие плоское движение от пространственного, учитываются в формуле (11-100) коэффициентом сжатия ϵ

при этом коэффициент σ_{ϕ} берется из табл. 11-3 в зависимости от угла α_{ϕ} (для величин $\alpha_{\phi} = 90^\circ$ и $a/c_b = 1,0$); коэффициент полноты напора σ_n — из табл. 11-4 в зависимости от $H/H_{\text{прф}}$ (для $\alpha_{\phi} = 90^\circ$).

Примечание. При наличии на гребне водосливной стенки плоской горизонтальной площадки, шириной до $2H$, значение m следует устанавливать, руководствуясь указаниями, приведенными ниже в п. 2°.

2°. **Водосливные стенки трапециевидального поперечного профиля со скругленными углами** (рис. 11-39):

1) Для высокого профиля ($c_b \geq 3H$), имеющего размер $\delta = (1 \div 1,5)H_{\text{прф}}$, величина

$$m = 0,48.$$

2) Для криволинейных профилей (см. рис. 11-37) средней высоты ($2H < c_b < 3H$) или низких ($0,5H \leq c_b \leq 2H$), имеющих вертикальную низовую или верховую грань. коэффициент расхода следует принимать:

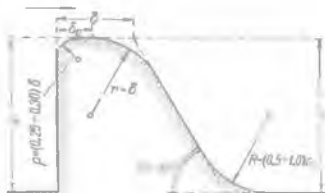


Рис. 11-39. Элементы очертания трапециевидальной водосливной стенки

низовой поверхностью, вписывающейся в профиль Кригера — Оффенберга, величину m можно определять по более точным формулам Г. К. Дерюгина.

а) в случае, когда входное ребро скруглено радиусом $r = (0,20 \div 0,25)H$:

$$m = 0,40 \left(\frac{H}{\delta_0} \right)^{1/6}.$$

б) в случае нескругленного входного ребра:

$$m = 0,37 \left(\frac{H}{\delta_0} \right)^{1/6}.$$

3°. **Водосливные стенки прямоугольного поперечного сечения** при свободном доступе воздуха под струю:

1) Для чистого прямоугольного профиля (рис. 11-34, а) при

$$H \leq c_b \leq 4H \text{ и } 0,6H \leq \delta \leq 2H$$

коэффициент расхода

$$m = 0,42\sigma_n.$$

где σ_n определяется по формуле (11-107).

Примечание. При $0,5H < \delta < 0,6H$ коэффициент σ_n следует считать равным 1,0, т. е. полагать

$$m = 0,42.$$

При $c_b > 4H$ значение m можно принимать на 3% меньше найденного по указанной выше формуле.

2) Для прямоугольного профиля с закругленным входным ребром (рис. 11-34, б) при

$$H \leq c_b \leq 4H; 0,5H < \delta < 2H; r = (0,1 \div 0,2)H$$

коэффициент расхода

$$m = 0,44 \sigma_m$$

где σ_m определяется по формуле (11-107).

3) Для прямоугольной водосливной стенки с верхней гранью, наклоненной в сторону верхнего бьефа (рис. 11-34, в), при

$$H \leq c_n \leq 4H \text{ и } 0,5H < \delta < 2H$$

коэффициент расхода m надлежит принимать:

а) в случае, если котангенс угла наклона верхней грани к горизонту $s > 10$, согласно п. 1 (см. выше);

б) в случае, если котангенс $s = 10 - 5$, согласно формуле, приводимой в п. 2.

Таблица 11-5

Коэффициенты расхода m для высоких трапециевидальных профилей ($c_n > 3H$) при свободном доступе воздуха под струю (рис. 11-40)

| | H/δ | | | |
|-----|------------|------|------|------|
| | 0,5 | 1,0 | 1,5 | 2,0 |
| 0 | 0,32 | 0,36 | 0,39 | 0,41 |
| 0,5 | 0,34 | 0,38 | 0,41 | 0,44 |



Рис. 11-40 Высокая трапециевидальная водосливная стенка

Примечания 1 Значения m в крайних вертикальных графах таблицы (отвечающих водосливу с широким порогом и водосливу с тонкой стелькой) можно пользоваться только для интерполяции по величине H/δ . 2 Значениями m в первой строке таблицы можно пользоваться только для интерполяции по величине s .

4) Для прямоугольной стенки с верхней гранью, наклоненной в сторону нижнего бьефа (рис. 11-34, г) при

$$H \leq c_n \leq 4H; 0,5H < \delta < 2H; s > 20,0,$$

где s' — котангенс угла наклона верхней грани к горизонту, коэффициент расхода m можно принимать по данным п. 1 (см. выше).

5) Для прямоугольного симметричного профиля с двускатным верхом (рис. 11-34, д) при

$$H \leq c_n \leq 4H \text{ и } 0,5H < \delta < 2H$$

коэффициент расхода m следует назначать, как указано в п. 3.

4'. Водосливные стенки трапециевидального и треугольного поперечного профиля:

1) Для высоких трапециевидальных профилей ($c_n \geq 3H$; рис. 11-40) при свободном доступе воздуха под струю в случае

$$s \leq 0,5 \text{ и } s' \leq 0,5,$$

где s и s' — котангенсы угла наклона боковых граней водосливной стенки (соответственно верховой и низовой) к горизонту, коэффициент расхода m принимается по табл. 11-5.

2) Для трапециевидальных профилей (см. рис. 11-35) средней высоты ($2H < c_n < 3H$) или низких ($0,5H \leq c_n \leq 2H$), имеющих вертикальную низовую или верховую грань, коэффициент расхода принимается согласно табл. 11-6, в которой через s и s' обозначены котангенсы углов наклона боковых граней к горизонту.

Коэффициенты расхода m для трапециевидных профилей средней высоты и низких (см. рис. 11-35)

| Тип профиля | H/δ | | | | Примечание | | | |
|--|---|--|------|------|------------|---|------|---|
| | 0,5 | 1,0 | 1,5 | 2,0 | | | | |
| I Профили средней высоты ($2H < c_b < 3H$): | а) с наклонной верхней гранью (рис. 11-35, а): при $s = 1,0$ » $s = 2,0$ | 0,36 | 0,39 | 0,41 | 0,44 | При свободном доступе воздуха под струю | | |
| | | 0,37 | 0,40 | 0,41 | 0,44 | | | |
| | б) с наклонной нижней гранью (рис. 11-35, б): при $s' = 1,0$ » $s' = 2,0$ | 0,33 | 0,37 | 0,41 | 0,42 | | | |
| | | 0,33 | 0,36 | 0,40 | 0,42 | | | |
| | II Низкие профили ($0,5H < c_b < 2H$): | а) с наклонной верхней гранью (рис. 11-35, а): при $s = 3,0$ » $s = 5,0$ » $s = 10,0$ | 0,37 | 0,40 | 0,41 | | 0,42 | При свободном доступе воздуха под струю |
| | | | 0,37 | 0,39 | 0,40 | | 0,41 | |
| 0,37 | | | 0,39 | 0,39 | 0,40 | | | |
| б) с наклонной нижней гранью (рис. 11-35, б): при $s' = 3,0$ » $s' = 5,0$ » $s' = 10,0$ | | 0,34 | 0,36 | 0,38 | 0,40 | | | |
| | | 0,34 | 0,35 | 0,37 | 0,38 | | | |
| | | 0,34 | 0,35 | 0,36 | 0,36 | | | |

3) Для треугольных профилей с вертикальной верхней гранью и наклонной нижней гранью (рис. 11-36) при $c_b \geq 3H$ коэффициент расхода m принимается согласно табл. 11-7, где s' — котангенс угла наклона нижней грани к горизонту.

Таблица 11-7

Коэффициент расхода m для треугольных профилей с вертикальной верхней гранью при $c_b > 3H$ (см. рис. 11-36)

| | 1 | 2 | 5 | 10 |
|-----|------|------|------|------|
| m | 0,47 | 0,43 | 0,38 | 0,36 |

5°. Для низких водосливных стенок ($c_b < 5H$) любого прямоугольного очертания в поперечном сечении:¹

$$m = 0,385 + (m' - 0,385)k,$$

где m' — коэффициент расхода для данной стенки, но при высоте ее $c_b \geq 5H$; k — поправочный коэффициент, величина которого принимается в зависимости от отношения c_b/H :

| | | | | | | | |
|---------|------|------|------|------|------|------|------|
| c_b/H | 5,0 | 3,0 | 1,0 | 0,5 | 0,3 | 0,2 | 0,0 |
| k | 1,00 | 0,90 | 0,84 | 0,67 | 0,46 | 0,23 | 0,00 |

¹ Приводимая формула (предложенная Г. К. Дерюгиным) относится также и к водосливам с тонкой стенкой и с широким порогом.

Г. ОСОБЫЕ СЛУЧАИ ВОДОСЛИВОВ. ЗАКЛЮЧИТЕЛЬНЫЕ ЗАМЕЧАНИЯ

§ 11-17. КОСЫЕ ПРЯМОУГОЛЬНЫЕ ВОДОСЛИВЫ

При свободном истечении через косой водослив с тонкой стенкой (см. рис. 11-41, где данный водослив показан в плане) его рассчитывают по формуле

$$Q = \sigma_x \sigma_n m_{0n} b \sqrt{2g} H^{3/2}. \quad (11-109)$$

здесь все величины, кроме σ_x , известны из предыдущего (см. раздел А); размер b показан на чертеже. Величину σ_x (поправку на косину водослива) при $H/c_n < 0,5$ следует определять по графику на

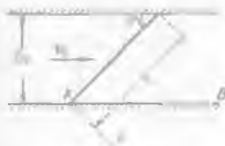


Рис. 11-41. Косой водослив (в плане)

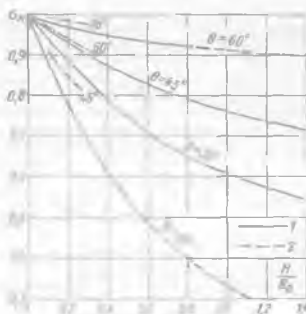


Рис. 11-42. График для расчета косых водосливов

1 — для тонкой стенки, 2 — для стенки нормального очертания [Кригера — Офицерова]

рис. 11-42 (составленному на основании опытов В. С. Истоминой, Айхеля и др. авторов) в зависимости от величины H/c_n и угла θ , указанного на рис. 11-41.

В случае водослива со стенкой Кригера — Офицерова в формулу (11-109) вместо коэффициентов m_{0n} следует подставлять коэффициент m и вместо геометрического напора H — полный напор H_0 . Величину σ_x в данном случае следует определять по кривым рис. 11-42 (относящимся к условиям $H/c_n < 0,5$). В том случае, если правая стенка русла в нижнем бьефе располагается по линии AC (а не по линии AB ; см. рис. 11-41) величину поправочного коэффициента σ_x следует принимать равной 1,0.

§ 11-18. БОКОВЫЕ ВОДОСЛИВЫ

На рис. 11-43 представлен боковой водослив шириной b . Как видно, от сечения канала AA_1 до сечения канала BB_1 расход Q по длине канала должен быть переменным. Поэтому и глубина воды в канале на этом его участке также должна быть переменной¹. Отсюда заключаем, что истечение через порог водослива AB в данном случае будет происходить на разных участках гребня водосливной стенки при различных напорах.

¹ На рис. 11-43 представлен случай, когда глубины воды в канале по течению возрастают. Однако, как показывает опыт, эти глубины могут и уменьшаться по длине канала.

Чтобы решить задачу об истечении воды через рассматриваемый водослив, необходимо знать закон изменения напоров H вдоль гребня AB водослива. Существует ряд попыток решить этот вопрос. Однако до сего времени мы не имеем еще удовлетворительного решения. В ответственных случаях величину расхода Q для бокового водослива определяют на основании специальных опытов, поставленных в лаборатории (хотя и здесь встречаются некоторые затруднения при решении вопросов моделирования данного явления).



Рис. 11-43. Боковой водослив

Для приближенной оценки полной величины расхода Q^0 воды, переливающейся через неподтопленный боковой водослив, некоторые авторы рекомендуют следующую формулу:

$$Q^0 = 0.4b\sqrt{2g}H_{cp}^{3/2}, \quad (11-110)$$

где H_{cp} — средний напор на водосливе.

В [11-8] рекомендуется более точный способ для определения расхода воды Q^0 , а также для построения свободной поверхности потока на прилегающих к водосливу участках русла. Однако и этот способ

для повышения точности расчета иногда предполагается корректировать на основании специально поставленных опытов.

11-19. ПОЛИГОНАЛЬНЫЕ В ПЛАНЕ ВОДОСЛИВЫ

Для расчета таких водосливов (рис. 11-6, а) пользуются приближенной формулой

$$Q = m(\sum b_n + \sigma_n \sum b_x)\sqrt{2g}H_0^{3/2}, \quad (11-111)$$

где $\sum b_n$ — сумма длин всех «прямых» участков гребня водослива; $\sum b_x$ — сумма всех длин всех «косых» участков гребня водослива (о σ_n см. § 11-17).

11-20. ВАЖНЕЙШИЕ ЗАКЛЮЧИТЕЛЬНЫЕ ЗАМЕЧАНИЯ

Выше всюду рассматривалось установившееся истечение через водослив, т. е. истечение, происходящее при напоре H , не изменяющемся во времени.¹ Однако в практике встречаются случаи, когда с течением времени верхний бьеф наполняется или опорожняется, причем H изменяется во времени.

Такие водосливы рассчитываются аналогично отверстиям, работающим при переменном напоре (см. предыдущую главу). Более подробно этот вопрос рассматривается в курсе «Гидротехнические сооружения» в связи с расчетом наполнения и опорожнения водохранилищ.

¹ Имеется в виду неподтопленный водослив

Необходимо еще отметить, что пролеты больших мостов, устраиваемых через реки, с некоторым приближением (см. § 11-11) могут рассматриваться как подтопленные водосливы (без порога). Для расчета отверстий больших мостов существуют также специально разработанные методы, которых мы здесь касаться не будем.

МАТЕРИАЛЫ ПРАКТИЧЕСКИХ ЗАНЯТИЙ ПО РАСЧЕТУ ВОДОСЛИВОВ

№ 1. На рис. 11-44, а, б, в изображены три схемы водослива с тонкой стенкой (с указанием отметок горизонта воды в верхнем и нижнем бьефах). Необходимо установить, какой из этих водосливов является подтопленным в какой неподтопленным.

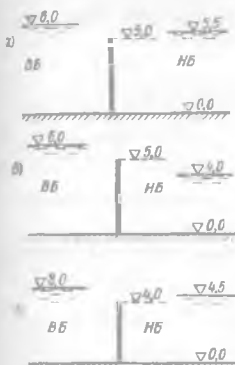


Рис. 11-44. К задаче № 1

№ 2. На рис. 11-45, а, б изображены две схемы водослива с широким порогом (с указанием отметок горизонта воды в верхнем и нижнем бьефах). Требуется установить, исходя из критерия Беланже и критерия, приведенных в [7, 8, 13], какой из этих водосливов является подтопленным и какой неподтопленным (скоростью подхода v_0 можно пренебречь).



Рис. 11-45. К задаче № 2

№ 3. На рис. 11-46 представлены две схемы водослива со стенкой практического профиля: безвакуумной (рис. 11-46, а) и вакуумной [рис. 11-46, б). Требуется установить, какой из этих водосливов является подтопленным и какой неподтопленным.

№ 4. На рис. 11-47 представлен водослив со стенкой практического профиля нормального очертания (Кригера-Оффендера). Имеется одно водосливное отверстие, шириной $b = B$.

Дано: геометрический напор на водосливе $H = 5,0$ м; высота водосливной стенки $c = 10,0$ м; высота подтопления $h_n = 1,0$ м, ширина русла в верхнем бьефе $B_0 = 60,0$ м (русло верхнего бьефа считается прямоугольным); ширина заданного водосливного отверстия $B = 50,0$ м

Требуется найти расход воды Q .

Решение. Для расчета пользуемся основной зависимостью (11-100):

$$Q = \sigma_{\text{н}} \epsilon_{\text{н}} B \sqrt{2g} H_0^{3/2}. \quad (\text{А})$$

В эту зависимость входит полный напор H_0 , учитывающий скорость подхода v_0 .

Прежде всего требуется выяснить вопрос о возможности пренебрежения скоростью подхода v_0 . С целью решения такого вопроса пользуемся зависимостью (11-103):

$$\Omega_0 = B(c + H) = 60(10 + 5) = 900 \text{ м}^2;$$

$$4BH = 4 \cdot 50 \cdot 5 = 1000 \text{ м}^2;$$

$$\Omega_0 < 4BH,$$

следовательно, скоростью подхода пренебрегать нельзя. В связи с этим в формуле (А) не представляется возможным заменить величину H_0 геометрическим напором H в тем самым упростить нашу задачу

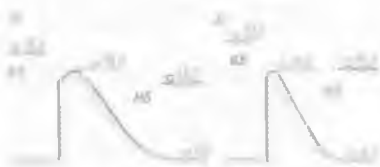


Рис. 11-46 К задаче № 3

Далее определяем коэффициенты σ_n , ϵ и m

1 Коэффициент подтопления σ_n устанавливаем по графику на рис 11-32 для величины

$$\frac{h_{в1}}{H} = \frac{1,0}{5,0} = 0,2,$$

причем пользуемся кривой II этого графика. Как видно, величина σ_n оказывается равной:¹

$$\sigma_n = 0,99$$

2 Коэффициент бокового сжатия определяем по формуле (11-60')

$$\epsilon = 1 - 0,2\xi_1 \frac{H_0}{B}$$

величину ξ_1 , входящую в эту формулу, принимаем (см. рис. 11-22).

$$\xi_1 = 0,7;$$

при этом получаем $\epsilon = 1 - 0,20 \cdot 0,7 \frac{5}{50} = 0,986$

Вычислим еще значение ϵ по относительно точной формуле (11-62):

$$\epsilon = 1 - \frac{K_{фв}}{1 + c_n/H} \left(K_{фв}/H \frac{c_{фв}}{b} + K_{фв} \right), \quad (Б')$$

где в нашем случае

$$b/B = \frac{B}{B_0} = \frac{50}{60} = 0,833;$$

радиусы скругления входных вертикальных ребер устоев принимаем $r = a = 1,0$ м; при этом получаем

$$\frac{a}{H} = \frac{1,0}{5,0} = 0,2; \quad \frac{a}{b} = \frac{1,0}{50} = 0,02$$

¹ Применяя график на рис. 11-12 можно убедиться, что в данном случае за водосливом отогнанного прыжка не будет. С большей точностью этот вопрос можно решить, применяя график рис. 12-13 (см. следующую главу, стр. 461). При наличии отогнанного гидравлического прыжка за водосливом следовало бы принять величину $\sigma_n = 1,0$.

Необходимость учета скорости подхода v_0 вынуждает решать данную задачу методом последовательного приближения. Согласно этому методу поступаем следующим образом.

1-е приближение. Считаем, что

$$v_0 = 0,$$

причем получаем

$$H_0 = H.$$

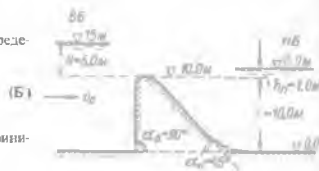


Рис 11-47 К задаче № 4

Вычислим коэффициенты K , входящие в формулу (Б'):

по зависимости (11-64):

$$K_{h/B_c} = 1.0 - 1.4(0.833 - 0.2)^{3/2} = 0.30.$$

по зависимости (11-66):

$$K_{a/H} = 0.17 - \sqrt{\frac{1}{30} \cdot 0.2} = 0.09;$$

по зависимости (11-68):

$$K_{a^2/b} = 0.17 - \sqrt{\frac{1}{30} \cdot 0.02} = 0.14.$$

Подставляя найденные величины в формулу (Б'), получаем

$$\varepsilon = 1 - \frac{0.3}{1 + \frac{10.0}{5.0}} \left(0.99 \cdot \frac{10.0}{50.0} + 0.14 \right) = 0.984.$$

Как видно, в данном частном случае приближенная формула (11-60') дала достаточно хорошие результаты.

3. Коэффициенты расхода водослива m находим по формуле (11-106) (см. также п. 1': стр. 437)

$$m = 0.504 \sigma_n \sigma_\phi,$$

где коэффициент полиоты напора σ_n , принимая $H = H_{\text{прф}}$, считаем¹

$$\sigma_n = 1.0;$$

коэффициент формы σ_ϕ , согласно табл. 11-3 (на стр. 438) (считая $\alpha_p = 90^\circ$ и $\alpha_n = 45^\circ$; см. чертеж), получаем

$$\sigma_\phi = 0.993.$$

Таким образом,

$$m = 0.504 \cdot 1.0 \cdot 0.993 = 0.50.$$

Подставляя найденные величины в формулу (А), находим величину расхода в первом приближении:

$$Q = 0.99 \cdot 0.984 \cdot 0.5 \cdot 50 \cdot \sqrt{2 \cdot 9.80 \cdot 5^{3/2}} = 1210 \text{ м}^3/\text{с}.$$

2-е приближение. Скорость подхода во втором приближении считаем

$$v_0 = \frac{Q}{(H + c) B_c} = \frac{1210}{(5 + 10) \cdot 60} = 1.35 \text{ м/с}.$$

При этом полный напор H_0 оказывается

$$H_0 = H + \frac{\alpha v_0^2}{2g} = 5 + \frac{1.1 \cdot 1.35^2}{2 \cdot 9.80} = 5.1 \text{ м}.$$

Что касается величин σ_n , ε и m , то их в данном случае сохраняем прежними.²

Расход Q во втором приближении будет

$$Q = 0.99 \cdot 0.986 \cdot 0.5 \cdot 50 \sqrt{2 \cdot 9.80 \cdot 5.1^{3/2}} = 1250 \text{ м}^3/\text{с}.$$

Как видно, величина Q в результате второго приближения увеличилась на 3%. Отсюда заключаем, что к третьему приближению, согласно которому

¹ Здесь мы предполагаем, что очертание профиля Крингера—Офинерова построено для профилирующего напора $H_{\text{прф}} = 5.0$ м. Если бы $H_{\text{прф}}$ был бы не равен 5,0 м, то для установления σ_n пришлось бы пользоваться табл. 11-4.

² Как видно из графика на рис. 11-32, с изменением H_0 должен несколько измениться только коэффициент σ_n , однако этим изменением здесь пренебрегаем.

$$v_0 = \frac{1250}{(5 + 10) 60} = 1.39 \text{ м/с,}$$

обращаться нет надобности; ясно, что уточненное значение Q , полученное в третьем приближении, будет отличаться на пренебрежимо малую величину от $Q = 1250 \text{ м}^3/\text{с}$, которое мы и принимаем как окончательное значение расхода

№ 5. Для водослива со стенкой практического профиля, указанного в задаче № 4, требуется найти напор H , если величина $Q = 900 \text{ м}^3/\text{с}$.

Решение. Для расчета воспользуемся зависимостью (А), приведенной в задаче № 4:

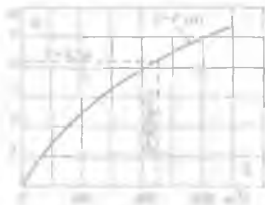


Рис. 11-48. К задаче № 5

$$Q = \sigma_n \epsilon m B \sqrt{2g} H_0^{3/2}. \quad (\text{А})$$

В этой формуле величины σ_n , ϵ , m являются функциями от напора H , в связи с чем найти непосредственно величину H из уравнения (А) нельзя¹. Учитывая это обстоятельство, решаем уравнение (А) в отношении величины H путем подбора.

В большинстве практических случаев при расчете водосливов скоростью подхода можно пренебрегать. Учитывая это обстоятельство, в начале расчета будем считать

$$H = H_0.$$

Задавая в 1-й строке приводимой таблицы (форма 1) различными значениями H , вычисляем по формуле (А) соответствующие величины расхода Q .

По данным 1-й и 7-й строк таблицы (форма 1) строим на рис. 11-48 график

$$Q = f(H);$$

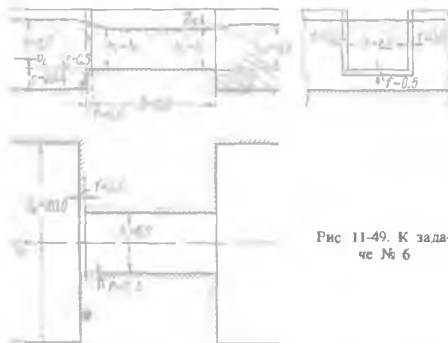


Рис. 11-49. К задаче № 6

откладывая по горизонтальной оси этого графика заданную величину Q ($Q = 900 \text{ м}^3/\text{с}$), находим величину $H = 4.2 \text{ м}$.

Найдя это значение H , проверим теперь, пользуясь соотношением (11-103), приемлемость принятого выше допущения, согласно которому считали, что $H = H_0$,

¹ Величина профилирующего напора была принята нами $H_{\text{проф}} = 5.0 \text{ м}$, поэтому с изменением H будет меняться отношение $H/H_{\text{проф}}$ а следовательно, будет изменяться и коэффициент полноты напора σ_n .

| № строки | Величина | Единица измерения | Задаваемые и находимые численные значения | | | Примечание |
|----------|---------------|-----------------------|---|-------|-------|--|
| 1 | H | м | 3,0 | 4,0 | 5,0 | |
| 2 | $H^{3/2}$ | $\text{м}^{3/2}$ | 5,2 | 8,0 | 11,2 | |
| 3 | $h_n : H$ | — | 0,333 | 0,25 | 0,20 | |
| 4 | σ_n | — | 0,99 | 0,99 | 0,99 | По графику на рис. 11-32 |
| 5 | ε | — | 0,992 | 0,989 | 0,986 | По формуле (11-60') при $\xi_p = 0,7$ |
| 6 | m | — | 0,47 | 0,486 | 0,50 | По формуле (11-106) и таблицам 11-3 и 11-4 |
| 7 | Q | $\text{м}^3/\text{с}$ | 533 | 845 | 1210 | По формуле (A) |

$$\Omega_0 = B_0(c + H) = 60 \cdot (10 + 4,2) = 852 \text{ м}^2;$$

$$4HB = 4 \cdot 4,2 \cdot 50 = 840 \text{ м}^2;$$

как видно,

$$\Omega_0 > 4HB;$$

следовательно, скоростью подхода действительно можно пренебрегать.¹

Таким образом, искомое значение $H = 4,2$ м.

№ 6. На рис 11-49 представлена водосливная стенка с горизонтальным гребнем.

Дано (обозначения см. на чертеже): $c = 2,0$ м; $\delta = 12,5$ м; $f = 0,5$ м; $b = 6,0$ м; $B_0 = 20,0$ м; $H = 5,0$ м; $h_n = 4,5$ м.

Требуется найти раскол Q и глубину h_1 на гребне водослива

Решение:

1. Выясним тип водослива [см. зависимость (11-5)]:

$$2H = 2 \cdot 5,0 = 10,0 \text{ м};$$

$$8H = 8 \cdot 5,0 = 40,0 \text{ м};$$

так как

$$10,0 < \delta < 40,0,$$

то при наличии горизонтального гребня имеем водослив с широким порогом

2. Решаем вопрос о скорости подхода v_0 [см. критерий (11-57)]:

$$\Omega_0 = B_0(c + H) = 20,0 \cdot (2,0 + 5,0) = 140 \text{ м}^2;$$

$$4bH = 4 \cdot 6,0 \cdot 5,0 = 120,0 \text{ м}^2;$$

как видно,

$$\Omega_0 > 4bH;$$

следовательно, скоростью подхода v_0 можно пренебречь и считать, что

$$H_0 \approx H.$$

3. Выясняем вопрос о подтоплении водослива, причем пользуемся критерием (11-79):

$$nH = (0,75 \cdot 5,0) - (0,85 \cdot 5,0) = 3,75 - 4,25 \text{ м}.$$

Как видно,

$$nH < h_n.$$

¹ Расчет в приведенной выше таблице можно было бы выполнить и не пренебрегая скоростью подхода. При этом данную таблицу пришлось бы дополнить несколькими строками, в которых вычисляется величина h_1 (зная H и Q , эту величину легко можно найти).

отсюда заключаем, что водослив будет подтоплен.

4. В первом приближении для определения расхода Q и глубины h_1 можем пренебречь перепадом восстановления $Z_{вс}$ и принять величину ϵm равной [как для водослива с широким порогом; см. рис. 11-21 в рекомендации (11-60')]:

$$\epsilon m = 0,35.$$

При таких условиях получаем [см зависимость (11-84) и (11-83)]: $h_1 = h_n = 4,5$ м.

$$Q = \varphi_n b h_1 \sqrt{2g(H - h_1)} = 0,93 \cdot 6,0 \cdot 4,5 \sqrt{2 \cdot 9,8(5 - 4,5)} = 78,8 \text{ м}^3/\text{с},$$

где $\varphi_n = 0,93$ мы взяли по таблице (стр. 426) к формуле (11-83) в зависимости от принятой величины ϵm ($\epsilon m = 0,35$).

5. Желая получить более точные результаты, уточняем величину ϵm :

а) величина m (отвечающая плоской задаче) для

$$\eta = \frac{c_n}{H} = \frac{2,0}{5,0} = 0,40 \text{ и } \frac{f}{H} = \frac{0,5}{5,0} = 0,1$$

по табл. 11-2 (стр. 421) будет

$$m = 0,37;$$

б) величина ϵ , согласно приближенной формуле (11-60'), равна (при $\xi_y = 0,7$, см. рис. 11-22):

$$\epsilon = 1,0 - 0,2 \xi_y \frac{H}{b} = 1,0 - 0,2 \cdot 0,7 \frac{5}{6} = 0,88;$$

в) величина $\epsilon m = 0,88 \cdot 0,37 = 0,326$.

При $\epsilon m = 0,326$ получаем по-прежнему (пренебрегая перепадом восстановления):

$$h_1 = h_n = 4,5 \text{ м};$$

$$Q = \varphi_n b h_1 \sqrt{2g(H - h_1)} = 0,88 \cdot 6,0 \cdot 4,5 \sqrt{2 \cdot 9,8(5 - 4,5)} = 74,5 \text{ м}^3/\text{с},$$

где $\varphi_n = 0,88$ взято по таблице к формуле (11-83) для $\epsilon m = 0,326$.

Как видно, величина Q при уточнении ее по формуле (11-60') изменилась в данном частном случае на 5%.

6. Дальнейшее уточнение величины Q можно выполнить, используя для определения ϵ формулу (11-62). Пользуясь этой формулой, предварительно определяем следующие величины:

$$\frac{b}{B_0} = \frac{6}{20} = 0,3; \quad \frac{a}{H} = \frac{f}{H} = \frac{0,5}{5,0} = 0,1; \quad \frac{\alpha}{b} = \frac{f}{b} = \frac{0,5}{0,6} = 0,835.$$

Далее по зависимостям (11-64), (11-66) и (11-68) определяем величины

$$K_{\alpha, B_0} = 1,0 - 1,4(0,3 - 0,2)^{3,2} = 0,96,$$

$$K_{\alpha, H} = 0,17 - \sqrt{\frac{1}{30}} \cdot 0,1 = 0,11;$$

$$K_{\alpha, b} = 0,17 - \sqrt{\frac{1}{30}} \cdot 0,835 = 0,12;$$

наконец, по формуле (11-62) находим

$$\epsilon = 1 - \frac{K_{\alpha, B_0}}{1 + c_n/H} \left(K_{\alpha, H} \frac{c_n}{b} + K_{\alpha, b} \right) = 1 - \frac{0,96}{1 + \frac{2}{5}} \left(0,11 \frac{2}{6} + 0,12 \right) = 0,89.$$

Зная ϵ и величину $\epsilon m = 0,37 \cdot 0,89 = 0,330$, находим Q :

$$Q = 0,87 \cdot 6,0 \cdot 4,5 \sqrt{2 \cdot 9,8(5 - 4,5)} = 74,0 \text{ м}^3/\text{с}.$$

где $\varphi_n = 0,87$ взято по таблице к формуле (11-83) для $\epsilon m = 0,33$.

Как видно, в данном частном случае уточнение величины Q оказалось пренебрежимо малым

7. Учет перепад восстановления $Z_{вс}$ (которым мы выше встоду пренебрежали):
1-е приближение.

а) Принимаем расход Q , найденный выше (без учета $Z_{вс}$):

$$Q = 74,0 \text{ м}^3/\text{с},$$

причем определяем удельный расход

$$q = \frac{Q}{b} = \frac{74,0}{6,0} = 12,30 \text{ м}^2/\text{с}.$$

б) Исходя из этой величины q , по формуле (7-49) находим критическую глубину h_x для прямоугольного русла, образующего отверстие водослива:

$$h_x = 2,50 \text{ м}.$$

в) Согласно формуле (11-86), устанавливаем величины $\xi_{н}$ и $v_{н}$

$$\xi_{н} = \frac{h_{н}}{h_x} = \frac{4,5}{2,50} = 1,80;$$

$$v_{н} = \frac{h_{н} b}{h_x B_0} = \frac{4,5 \cdot 6,0}{(4,5 + 2,0) 20,0} = 0,21$$

г) По графику на рис 11-27, исходя из найденных $\xi_{н}$ и $v_{н}$, определяем относительную величину перепада восстановления:

$$\zeta_{вс} = 0,05.$$

д) По формуле (11-85) вычисляем перепад восстановления:

$$Z_{вс} = \zeta_{вс} \cdot h_x = 0,05 \cdot 2,50 = 0,13 \text{ м}.$$

е) По формуле (11-84) определяем глубину воды на пороге водослива:

$$h_1 = h_x - Z_{вс} = 4,50 - 0,13 = 4,37 \text{ м}.$$

ж) Наконец, по зависимости (11-83) находим величину расхода (беря $\Phi_{н}$, равным найденному выше в п б)

$$Q = 0,87 \cdot 6,0 \cdot 4,37 \sqrt{2 \cdot 9,8(5,00 - 4,37)} = 80,0 \text{ м}^3/\text{с}.$$

Как видно, учет перепада восстановления в первом приближении обусловил увеличение расхода Q примерно на 8% (от 74,0 до 80,0 м³/с). Имея это в виду, обращаемся ко второму приближению.

2-е приближение.

а) Принимаем расход

$$Q = 80,0 \text{ м}^3/\text{с};$$

величина удельного расхода

$$q = \frac{80,0}{6,0} = 13,3 \text{ м}^2/\text{с};$$

б) по формуле (7-49) находим h_x :

$$h_x = 2,70 \text{ м};$$

в) величины $\xi_{н}$ и $v_{н}$ будут

$$\xi_{н} = \frac{h_{н}}{h_x} = \frac{4,5}{2,70} = 1,63;$$

$$v_{н} = 0,21 \text{ (см. выше);}$$

г) по графику на рис. 11-27 имеем

$$\zeta_{вс} = 0,065;$$

д) согласно зависимости (11-85)

$$Z_{\text{вс}} = 0,065 \cdot 2,70 = 0,18 \text{ м};$$

е) глубина на пороге

$$h_1 = h_n - Z_{\text{вс}} = 4,5 - 0,18 = 4,32 \text{ м};$$

ж) расход Q по формуле (11-83)

$$Q = 0,87 \cdot 6,0 \cdot 4,32 \sqrt{2 \cdot 9,8(5,0 - 4,32)} = 82,0 \text{ м}^3/\text{с}.$$

Как видно, второе приближение дало изменение величины расхода на 2%. Отсюда ясно, что к третьему приближению обращаться нет надобности. Найденные во втором приближении величины $h_1 = 4,3$ м и $Q = 82,0$ м³/с можно считать окончательными.

Из приведенного примера видно, что учет перепада восстановления дал в данном частном случае существенное увеличение расхода (от 74,0 до 82,0 м³/с, т. е. примерно на 11%).

СПИСОК ЛИТЕРАТУРЫ

- 11-1 Агасиева С. И. Боковые водосливы и траншейные водосбросы. — М.: Госстройиздат, 1956.
- 11-2 Вопросы мостовой гидравлики и гидрологии. — М.: Транспорт, 1967.
- 11-3 Избян С. В. Основы гидравлики. — М.: Госстройиздат, 1952.
- 11-4 Лебедев И. В. Основные положения гидравлического расчета строительной компоновки гидроузлов. — Труды МЭИ, № 1. — М.: изд. МЭИ, 1960.
- 11-5 Рекомендации по гидравлическому расчету водосливов Ч. I. Прямые водосливы II — 18 — 74. — Л.: Энергия, 1974.
- 11-6 Рекомендации по гидравлическому расчету водосливов Ч. II. Косые, боковые, криволинейные и кольцевые водосливы. II — 45 — 75. — Л.: Энергия, 1976.
- 11-7 Руднев С. С. Боковые водосливы. — М. — Л.: Госэнергоиздат, 1941.
- 11-8 Примеры гидравлических расчетов./Под ред. А. И. Богомолова. Изд. 2-е, пер. и доп. — М.: Транспорт, 1977.
- 11-9 Справочник по гидравлическим расчетам./Под ред. П. Г. Киселева. Изд. 4-е, пер. и доп. — М.: Энергия, 1972.
- 11-10 Технические условия и нормы проектирования гидротехнических сооружений. Гидравлические расчеты водосливов. ТУ 12—51. — Л. — М.: Госэнергоиздат, 1952.

ГЛАВА ДВЕНАДЦАТАЯ

СОПРЯЖЕНИЕ БЬЕФОВ ПРИ УСТРОЙСТВЕ ПЛОТИН

§ 12-1. ПРЕДВАРИТЕЛЬНЫЕ УКАЗАНИЯ

Необходимо различать следующие основные виды истечения воды при пропуске ее через плотину из верхнего бьефа в нижний:

- 1) истечение из-под затвора (шита) 3 (Ш), установленного на гребне G_p плотины, — рис. 12-1;
- 2) перелив через плотину (затвор полностью открыт) — рис. 12-2;
- 3) истечение через донное отверстие, образованное, например, поднимающимся затвором, — рис. 12-3.

Схемы на рис. 12-2 и 12-3 являются частными случаями схемы на рис. 12-1.

На рис. 12-1 и 12-3 показано истечение воды через напорное отверстие; на рис. 12-2 — через безнапорное отверстие, т. е. через водослив.